

弾性波動解析ソルバー

目次

1	基礎方程式及び離散式	2
1.1	基本方程式	2
1.1.1	流体中の音波	2
1.1.2	固体中の弾性波	2
1.2	解析方法	5
1.2.1	速度ベクトル, 応力ベクトル	6
1.2.2	スカラー速度ポテンシャル, ベクトル速度ポテンシャル	9
1.2.3	2次精度の差分式	10
1.2.4	4次精度の差分式	10
1.3	離散式	12
1.3.1	時間及び空間の2次精度離散式	12
1.3.2	時間2次精度及び空間4次精度の離散式	21
1.4	境界条件	28
1.4.1	想定する境界条件	28
1.4.2	PML境界条件	33

第 1 章

基礎方程式及び離散式

以下に開発するソルバーの基本方程式と離散式を説明する。

1.1 基本方程式

1.1.1 流体中の音波

音波の基本方程式は粒子速度と圧力を用いて以下の式となる。

$$\frac{\partial}{\partial t} P = -\kappa \nabla \cdot \dot{\mathbf{U}} \quad (1.1)$$

$$\frac{\partial}{\partial t} \dot{\mathbf{U}} = -\frac{1}{\rho} \nabla P \quad (1.2)$$

$$\dot{\mathbf{U}} = \begin{bmatrix} \dot{u} \\ \dot{v} \\ \dot{w} \end{bmatrix} \quad (1.3)$$

P は圧力, $\dot{\mathbf{U}}$ は粒子速度ベクトル, κ は体積弾性率, ρ は密度とする。(1.1) は連続の式でありまた (1.2) は運動方程式である。

1.1.2 固体中の弾性波

固体中を伝播する弾性波の基本方程式は以下になる。

$$\mathbf{T} = [c] \mathbf{S} \quad (1.4)$$

$$\rho \frac{\partial}{\partial t} \dot{\mathbf{U}} = \nabla \mathbf{T} \quad (1.5)$$

(1.4) はフックの法則であり, また (1.5) は運動方程式である。

\dot{U} は粒子速度ベクトルで変位ベクトル U の時間微分である。 T は応力テンソル、 ρ は密度, c はスチフネステンソルである。 S は歪テンソルと呼ばれ

$$S = \frac{1}{2} (\nabla U + (\nabla U)^T) \quad (1.6)$$

で定義される。各行列成分は次に示すようになる。

$$U = \begin{bmatrix} u \\ v \\ w \end{bmatrix} \quad (1.7)$$

$$T = \begin{bmatrix} T_{xx} & T_{xy} & T_{xz} \\ T_{yx} & T_{yy} & T_{yz} \\ T_{zx} & T_{zy} & T_{zz} \end{bmatrix} \quad (1.8)$$

$$(1.9)$$

固体内の弾性波は縦波と横波を含んでいるので速度ベクトルを縦波 \dot{U}_l と横波 \dot{U}_t の二つのベクトル場を用いて表す。

ここで横波と縦波はベクトル速度ポテンシャル $A = [A_1, A_2, A_3]$ とスカラ速度ポテンシャル ϕ を用いて以下で定義する。

$$\dot{U}_l = \nabla \phi \quad (1.10)$$

$$\dot{U}_t = \nabla \times A \quad (1.11)$$

$$\nabla \cdot A = 0 \quad (1.12)$$

この時, ヘルムホルツの定理より速度ベクトル \dot{U} はベクトル速度ポテンシャルとスカラ速度ポテンシャルを用いて以下のように表すことができる。

$$\dot{U} = \nabla \phi + \nabla \times A \quad (1.13)$$

この式 (1.13) に $\nabla \cdot$ を作用させる。

$$\nabla \cdot \dot{U} = \nabla^2 \phi + \nabla \cdot (\nabla \times A) \quad (1.14)$$

ベクトル解析の恒等式より

$$\nabla \cdot (\nabla \times A) = 0 \quad (1.15)$$

であるから, 式 (1.14) は

$$\nabla \cdot \dot{\mathbf{U}} = \nabla^2 \phi \quad (1.16)$$

となる.

またこの式 (1.13) に $\nabla \times$ を作用させ

$$\begin{aligned} \nabla \times \dot{\mathbf{U}} &= \nabla \times \nabla \phi + \nabla \times (\nabla \times \mathbf{A}) \\ &= 0 + \nabla(\nabla \cdot \mathbf{A}) - \nabla^2 \mathbf{A} \\ &= -\nabla^2 \mathbf{A} \end{aligned} \quad (1.17)$$

となる. ここでベクトル恒等式

$$\nabla \times \nabla \phi = 0 \quad (1.18)$$

$$\nabla \times (\nabla \times \mathbf{A}) = \nabla(\nabla \cdot \mathbf{A}) - \nabla^2 \mathbf{A} \quad (1.19)$$

を用いた.

よって式 (1.16) と式 (1.17) から速度ベクトル $\dot{\mathbf{U}}$ が計算されれば, 縦波 (スカラー速度ポテンシャル), 横波 (ベクトル速度ポテンシャル) を解析できることになる.

1.2 解析方法

時間と空間について中心差分を取りいわゆる FDTD 法を用いて応力ベクトル T と速度ベクトル \dot{U} を数值的に解析する。求められた応力と粒子速度から (1.13) の関係を用いて速度ポテンシャル \dot{A} とスカラー速度ポテンシャル $\dot{\phi}$ を求める。差分の精度については時間は 2 次精度, 空間については 2 次精度と 4 次精度を考慮する。

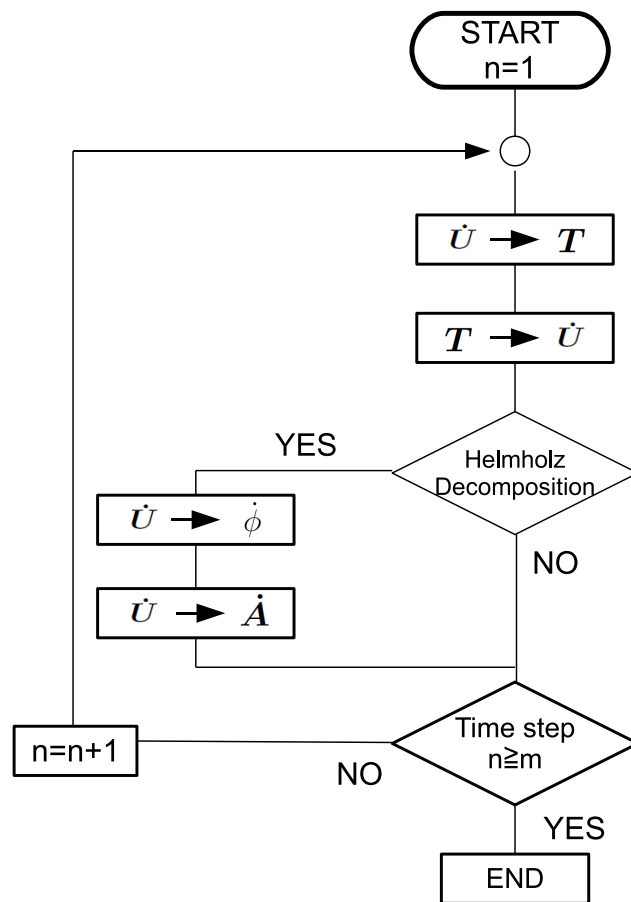


図 1.1: 計算のフローチャート図. 粒子速度ベクトル \dot{U} から半ステップ時間後の応力 T が計算される。この応力ベクトルから粒子速度が計算され時間ステップを更新する。ヘルムホルツ分解をする場合は, 関数を呼び出し粒子速度ベクトル \dot{U} からスカラー及びベクトル速度ポテンシャル $\dot{\phi}, \dot{A}$ が計算される。

1.2.1 速度ベクトル, 応力ベクトル

(1.4) と (1.5) を時間と空間について中心差分で離散化し応力及び粒子速度ベクトルを求める。その為にまず (1.4) を粒子速度と応力の関係に直し離散化し書き下す。

また応力テンソルおよび歪テンソルは一般には 3×3 のテンソル ($T_{kl}; k, l = x \sim z$) 量であるが実際には $T_{kl} = T_{lk}$, $S_{kl} = S_{lk}$ の関係があるので、考慮すべき独立な成分は 6 つになる。簡単のためこの応力テンソルを独立な 6 つの成分 $T_1 \sim T_6$ で表し計算する。同様にスチフネステンソルの各成分には $c_{ij} = c_{ji}$ の関係がある。

式 (1.6) より歪テンソルを成分で書くと

$$\mathbf{S} = \begin{bmatrix} \frac{\partial}{\partial x} u & \frac{1}{2}(\frac{\partial}{\partial y} u + \frac{\partial}{\partial x} v) & \frac{1}{2}(\frac{\partial}{\partial z} u + \frac{\partial}{\partial x} w) \\ \frac{1}{2}(\frac{\partial}{\partial y} u + \frac{\partial}{\partial x} v) & \frac{\partial}{\partial y} v & \frac{1}{2}(\frac{\partial}{\partial y} w + \frac{\partial}{\partial z} v) \\ \frac{1}{2}(\frac{\partial}{\partial z} u + \frac{\partial}{\partial x} w) & \frac{1}{2}(\frac{\partial}{\partial y} w + \frac{\partial}{\partial z} v) & \frac{\partial}{\partial z} w \end{bmatrix} \quad (1.20)$$

となる。 $S_{kl} = S_{lk}$ の関係があるので

$$\mathbf{S} = \begin{bmatrix} S_1 \\ S_2 \\ S_3 \\ S_4 \\ S_5 \\ S_6 \end{bmatrix} = \begin{bmatrix} S_{xx} \\ S_{yy} \\ S_{zz} \\ 2S_{yz} = 2S_{zy} \\ 2S_{zx} = 2S_{xz} \\ 2S_{xy} = 2S_{yx} \end{bmatrix} = \begin{bmatrix} \frac{\partial}{\partial x} u \\ \frac{\partial}{\partial y} v \\ \frac{\partial}{\partial z} w \\ \frac{\partial}{\partial z} v + \frac{\partial}{\partial y} w \\ \frac{\partial}{\partial z} u + \frac{\partial}{\partial x} w \\ \frac{\partial}{\partial y} u + \frac{\partial}{\partial x} v \end{bmatrix} \quad (1.21)$$

とベクトルで表す。

同様に応力も 6 つの成分のベクトルで表せば

$$\mathbf{T} = \begin{bmatrix} T_1 \\ T_2 \\ T_3 \\ T_4 \\ T_5 \\ T_6 \end{bmatrix} = \begin{bmatrix} T_{xx} \\ T_{yy} \\ T_{zz} \\ T_{yz} = T_{zy} \\ T_{zx} = T_{xz} \\ T_{xy} = T_{yx} \end{bmatrix} \quad (1.22)$$

と書く事ができる。式 (1.4) より

$$\mathbf{T} = [\tilde{c}]\mathbf{S} \quad (1.23)$$

であるから

$$\frac{\partial}{\partial t} \begin{bmatrix} T_1 \\ T_2 \\ T_3 \\ T_4 \\ T_5 \\ T_6 \end{bmatrix} = \begin{bmatrix} c_{11} & c_{12} & c_{13} & c_{14} & c_{15} & c_{16} \\ c_{21} & c_{22} & c_{23} & c_{24} & c_{25} & c_{26} \\ c_{31} & c_{32} & c_{33} & c_{34} & c_{35} & c_{36} \\ c_{41} & c_{42} & c_{43} & c_{44} & c_{45} & c_{46} \\ c_{51} & c_{52} & c_{53} & c_{56} & c_{55} & c_{56} \\ c_{61} & c_{62} & c_{63} & c_{64} & c_{65} & c_{66} \end{bmatrix} \begin{bmatrix} \frac{\partial}{\partial x} \dot{u} \\ \frac{\partial}{\partial y} \dot{v} \\ \frac{\partial}{\partial z} \dot{w} \\ \frac{\partial}{\partial z} \dot{v} + \frac{\partial}{\partial y} \dot{w} \\ \frac{\partial}{\partial z} \dot{u} + \frac{\partial}{\partial x} \dot{w} \\ \frac{\partial}{\partial y} \dot{u} + \frac{\partial}{\partial x} \dot{v} \end{bmatrix}$$

$$= \begin{bmatrix} c_{11} \frac{\partial}{\partial x} \dot{u} + c_{12} \frac{\partial}{\partial y} \dot{v} + c_{13} \frac{\partial}{\partial z} \dot{w} + c_{14} (\frac{\partial}{\partial z} \dot{v} + \frac{\partial}{\partial y} \dot{w}) + c_{15} (\frac{\partial}{\partial z} \dot{u} + \frac{\partial}{\partial x} \dot{w}) + c_{16} (\frac{\partial}{\partial y} \dot{u} + \frac{\partial}{\partial x} \dot{v}) \\ c_{21} \frac{\partial}{\partial x} \dot{u} + c_{22} \frac{\partial}{\partial y} \dot{v} + c_{23} \frac{\partial}{\partial z} \dot{w} + c_{24} (\frac{\partial}{\partial z} \dot{v} + \frac{\partial}{\partial y} \dot{w}) + c_{25} (\frac{\partial}{\partial z} \dot{u} + \frac{\partial}{\partial x} \dot{w}) + c_{26} (\frac{\partial}{\partial y} \dot{u} + \frac{\partial}{\partial x} \dot{v}) \\ c_{31} \frac{\partial}{\partial x} \dot{u} + c_{32} \frac{\partial}{\partial y} \dot{v} + c_{33} \frac{\partial}{\partial z} \dot{w} + c_{34} (\frac{\partial}{\partial z} \dot{v} + \frac{\partial}{\partial y} \dot{w}) + c_{35} (\frac{\partial}{\partial z} \dot{u} + \frac{\partial}{\partial x} \dot{w}) + c_{36} (\frac{\partial}{\partial y} \dot{u} + \frac{\partial}{\partial x} \dot{v}) \\ c_{41} \frac{\partial}{\partial x} \dot{u} + c_{42} \frac{\partial}{\partial y} \dot{v} + c_{43} \frac{\partial}{\partial z} \dot{w} + c_{44} (\frac{\partial}{\partial z} \dot{v} + \frac{\partial}{\partial y} \dot{w}) + c_{45} (\frac{\partial}{\partial z} \dot{u} + \frac{\partial}{\partial x} \dot{w}) + c_{46} (\frac{\partial}{\partial y} \dot{u} + \frac{\partial}{\partial x} \dot{v}) \\ c_{51} \frac{\partial}{\partial x} \dot{u} + c_{52} \frac{\partial}{\partial y} \dot{v} + c_{53} \frac{\partial}{\partial z} \dot{w} + c_{54} (\frac{\partial}{\partial z} \dot{v} + \frac{\partial}{\partial y} \dot{w}) + c_{55} (\frac{\partial}{\partial z} \dot{u} + \frac{\partial}{\partial x} \dot{w}) + c_{56} (\frac{\partial}{\partial y} \dot{u} + \frac{\partial}{\partial x} \dot{v}) \\ c_{61} \frac{\partial}{\partial x} \dot{u} + c_{62} \frac{\partial}{\partial y} \dot{v} + c_{63} \frac{\partial}{\partial z} \dot{w} + c_{64} (\frac{\partial}{\partial z} \dot{v} + \frac{\partial}{\partial y} \dot{w}) + c_{65} (\frac{\partial}{\partial z} \dot{u} + \frac{\partial}{\partial x} \dot{w}) + c_{66} (\frac{\partial}{\partial y} \dot{u} + \frac{\partial}{\partial x} \dot{v}) \end{bmatrix} \quad (1.24)$$

となる。

ただし等方性のある弾性固体の場合にはこのスチフネステンソル c は下記のように表される。

$$c = \begin{bmatrix} c_{11} & c_{12} & c_{12} & 0 & 0 & 0 \\ c_{12} & c_{11} & c_{12} & 0 & 0 & 0 \\ c_{12} & c_{12} & c_{11} & 0 & 0 & 0 \\ 0 & 0 & 0 & c_{44} & 0 & 0 \\ 0 & 0 & 0 & 0 & c_{44} & 0 \\ 0 & 0 & 0 & 0 & 0 & c_{44} \end{bmatrix} \quad (1.25)$$

したがって媒質が等方性弾性固体の場合には式 (1.24) を書き下せば以下のようになる。

$$\frac{\partial}{\partial t} \begin{bmatrix} T_1 \\ T_2 \\ T_3 \\ T_4 \\ T_5 \\ T_6 \end{bmatrix} = \begin{bmatrix} c_{11} \frac{\partial}{\partial x} \dot{u} + c_{12} \frac{\partial}{\partial y} \dot{v} + c_{12} \frac{\partial}{\partial z} \dot{w} \\ c_{12} \frac{\partial}{\partial x} \dot{u} + c_{11} \frac{\partial}{\partial y} \dot{v} + c_{12} \frac{\partial}{\partial z} \dot{w} \\ c_{12} \frac{\partial}{\partial x} \dot{u} + c_{12} \frac{\partial}{\partial y} \dot{v} + c_{11} \frac{\partial}{\partial z} \dot{w} \\ c_{44} (\frac{\partial}{\partial z} \dot{v} + \frac{\partial}{\partial y} \dot{w}) \\ c_{44} (\frac{\partial}{\partial z} \dot{u} + \frac{\partial}{\partial x} \dot{w}) \\ c_{44} (\frac{\partial}{\partial y} \dot{u} + \frac{\partial}{\partial x} \dot{v}) \end{bmatrix} \quad (1.26)$$

分かりやすく成分ごとに書けば

$$\frac{\partial}{\partial t} T_1 = c_{11} \frac{\partial}{\partial x} \dot{u} + c_{12} \frac{\partial}{\partial y} \dot{v} + c_{12} \frac{\partial}{\partial z} \dot{w} \quad (1.27)$$

$$\frac{\partial}{\partial t} T_2 = c_{12} \frac{\partial}{\partial x} \dot{u} + c_{11} \frac{\partial}{\partial y} \dot{v} + c_{12} \frac{\partial}{\partial z} \dot{w} \quad (1.28)$$

$$\frac{\partial}{\partial t} T_3 = c_{12} \frac{\partial}{\partial x} \dot{u} + c_{12} \frac{\partial}{\partial y} \dot{v} + c_{11} \frac{\partial}{\partial z} \dot{w} \quad (1.29)$$

$$\frac{\partial}{\partial t} T_4 = c_{44} \left(\frac{\partial}{\partial z} \dot{v} + \frac{\partial}{\partial y} \dot{w} \right) \quad (1.30)$$

$$\frac{\partial}{\partial t} T_5 = c_{44} \left(\frac{\partial}{\partial z} \dot{u} + \frac{\partial}{\partial x} \dot{w} \right) \quad (1.31)$$

$$\frac{\partial}{\partial t} T_6 = c_{44} \left(\frac{\partial}{\partial y} \dot{u} + \frac{\partial}{\partial x} \dot{v} \right) \quad (1.32)$$

この時フックの法則の式は

$$\nabla_s = \begin{bmatrix} \partial/\partial x & 0 & 0 \\ 0 & \partial/\partial y & 0 \\ 0 & 0 & \partial/\partial z \\ 0 & \partial/\partial z & \partial/\partial y \\ \partial/\partial z & 0 & \partial/\partial x \\ \partial/\partial y & \partial/\partial x & 0 \end{bmatrix} \quad (1.33)$$

と ∇_s を定義すれば

$$\mathbf{S} = \nabla_s \mathbf{U} \quad (1.34)$$

であるから .

$$\frac{\partial}{\partial t} \mathbf{T} = [\tilde{c}] \nabla_s \dot{\mathbf{U}} \quad (1.35)$$

と表すことができる

次に (1.5) を書き下す .

$$\begin{aligned} \rho \frac{\partial}{\partial t} \begin{bmatrix} \dot{u} \\ \dot{v} \\ \dot{w} \end{bmatrix} &= \begin{bmatrix} \frac{\partial}{\partial x} T_{xx} + \frac{\partial}{\partial z} T_{xz} + \frac{\partial}{\partial y} T_{xy} \\ \frac{\partial}{\partial y} T_{yy} + \frac{\partial}{\partial z} T_{yz} + \frac{\partial}{\partial x} T_{yx} \\ \frac{\partial}{\partial z} T_{zz} + \frac{\partial}{\partial y} T_{zy} + \frac{\partial}{\partial x} T_{zx} \end{bmatrix} \\ &= \begin{bmatrix} \frac{\partial}{\partial x} T_1 + \frac{\partial}{\partial z} T_5 + \frac{\partial}{\partial y} T_6 \\ \frac{\partial}{\partial y} T_2 + \frac{\partial}{\partial z} T_4 + \frac{\partial}{\partial x} T_6 \\ \frac{\partial}{\partial z} T_3 + \frac{\partial}{\partial y} T_4 + \frac{\partial}{\partial x} T_5 \end{bmatrix} \end{aligned} \quad (1.36)$$

成分に書き直せば

$$\rho \frac{\partial}{\partial t} \dot{u} = \frac{\partial}{\partial x} T_1 + \frac{\partial}{\partial z} T_5 + \frac{\partial}{\partial y} T_6 \quad (1.37)$$

$$\rho \frac{\partial}{\partial t} \dot{v} = \frac{\partial}{\partial y} T_2 + \frac{\partial}{\partial z} T_4 + \frac{\partial}{\partial x} T_6 \quad (1.38)$$

$$\rho \frac{\partial}{\partial t} \dot{w} = \frac{\partial}{\partial z} T_3 + \frac{\partial}{\partial y} T_4 + \frac{\partial}{\partial x} T_5 \quad (1.39)$$

となる。これらの式を時間と空間についてそれぞれ中心差分で書き下し離散式を得る。

弾性体のスチフネステンソル $[\tilde{c}]$ や密度 ρ はセル中心の点で与えられるのでセル中心以外の計算に使用するグリッド上でのこれら各種物性値の値は Lagrange 多項式により補間する。補間精度は 2 次と 4 次を選択可能とする。

1.2.2 スカラ速度ポテンシャル, ベクトル速度ポテンシャル

速度ベクトルとスカラ速度ポテンシャル, ベクトル速度ポテンシャルの関係を見るために式 (1.16) と式 (1.17) を書き下す。まず (1.16) より

$$\frac{\partial \dot{u}}{\partial x} + \frac{\partial \dot{v}}{\partial y} + \frac{\partial \dot{w}}{\partial z} = \frac{\partial^2 \phi}{\partial x^2} + \frac{\partial^2 \phi}{\partial y^2} + \frac{\partial^2 \phi}{\partial z^2} \quad (1.40)$$

ここで

$$\frac{\partial^2 \phi}{\partial t^2} = c_p^2 \left(\frac{\partial^2 \phi}{\partial x^2} + \frac{\partial^2 \phi}{\partial y^2} + \frac{\partial^2 \phi}{\partial z^2} \right) \quad (1.41)$$

の関係があるので

$$\begin{aligned} \frac{\partial \dot{u}}{\partial x} + \frac{\partial \dot{v}}{\partial y} + \frac{\partial \dot{w}}{\partial z} &= \frac{1}{c_p^2} \left(\frac{\partial^2 \phi}{\partial t^2} \right) \\ &= \frac{1}{c_p^2} \left(\frac{\partial \dot{\phi}}{\partial t} \right) \end{aligned} \quad (1.42)$$

つぎに (1.17) を書き下す.

$$\begin{aligned}
\begin{bmatrix} \frac{\partial}{\partial y} \dot{w} - \frac{\partial}{\partial z} \dot{v} \\ \frac{\partial}{\partial z} \dot{u} - \frac{\partial}{\partial x} \dot{w} \\ \frac{\partial}{\partial x} \dot{v} - \frac{\partial}{\partial y} \dot{u} \end{bmatrix} &= - \begin{bmatrix} \frac{\partial^2}{\partial x^2} A_1 + \frac{\partial^2}{\partial y^2} A_1 + \frac{\partial^2}{\partial z^2} A_1 \\ \frac{\partial^2}{\partial x^2} A_2 + \frac{\partial^2}{\partial y^2} A_2 + \frac{\partial^2}{\partial z^2} A_2 \\ \frac{\partial^2}{\partial x^2} A_3 + \frac{\partial^2}{\partial y^2} A_3 + \frac{\partial^2}{\partial z^2} A_3 \end{bmatrix} \\
&= - \frac{1}{c_s^2} \begin{bmatrix} \frac{\partial^2}{\partial t^2} A_1 \\ \frac{\partial^2}{\partial t^2} A_2 \\ \frac{\partial^2}{\partial t^2} A_3 \end{bmatrix} \\
&= - \frac{1}{c_s^2} \frac{\partial^2 \mathbf{A}}{\partial t^2} \\
&= - \frac{1}{c_s^2} \frac{\partial \dot{\mathbf{A}}}{\partial t} \tag{1.43}
\end{aligned}$$

整理すれば

$$\begin{aligned}
-\frac{1}{c_s^2} \dot{A}_1 &= \frac{\partial}{\partial y} \dot{w} - \frac{\partial}{\partial z} \dot{v} \\
-\frac{1}{c_s^2} \dot{A}_2 &= \frac{\partial}{\partial x} \dot{u} - \frac{\partial}{\partial z} \dot{w} \\
-\frac{1}{c_s^2} \dot{A}_3 &= \frac{\partial}{\partial x} \dot{v} - \frac{\partial}{\partial y} \dot{u} \tag{1.44}
\end{aligned}$$

となる. したがってすでに計算によって得られている速度ベクトル \dot{U} からスカラー速度ポテンシャル, ベクトル速度ポテンシャルを求めることができる. ここで c_p と c_s は縦波速度と横波速度である.

1.2.3 2次精度の差分式

2次精度中心差分は以下の差分式を使う.

$$\frac{\partial f}{\partial x} \Big|_i = \frac{f_{i+\frac{1}{2}} - f_{i-\frac{1}{2}}}{\Delta x} + O(\Delta x^2) \tag{1.45}$$

1.2.4 4次精度の差分式

4次精度の中心差分は以下の差分式を使う

$$\begin{aligned}
\frac{\partial f}{\partial x} \Big|_i &= \frac{27(f_{i+\frac{1}{2}} - f_{i-\frac{1}{2}}) - (f_{i+\frac{3}{2}} - f_{i-\frac{3}{2}})}{24\Delta x} + O(\Delta x^4) \\
&= \frac{9}{8\Delta x} (f_{i+\frac{1}{2}} - f_{i-\frac{1}{2}}) - \frac{1}{24\Delta x} (f_{i+\frac{3}{2}} - f_{i-\frac{3}{2}}) \tag{1.46}
\end{aligned}$$

この差分式は以下の方法で導出した. まず $f_{i+\frac{3}{2}}, f_{i+\frac{1}{2}}, f_{i-\frac{1}{2}}, f_{i-\frac{3}{2}}$ を $x = i$ の近傍でテーラー展開する.

$$\begin{aligned} f_{i+\frac{3}{2}} &= f_i + \left(\frac{3}{2}\Delta x\right) \frac{\partial f}{\partial x}\Big|_i + \frac{1}{2!} \left(\frac{3}{2}\Delta x\right)^2 \frac{\partial^2 f}{\partial x^2}\Big|_i \\ &\quad + \frac{1}{3!} \left(\frac{3}{2}\Delta x\right)^3 \frac{\partial^3 f}{\partial x^3}\Big|_i + \frac{1}{4!} \left(\frac{3}{2}\Delta x\right)^4 \frac{\partial^4 f}{\partial x^4}\Big|_i + O(\Delta x^5) \end{aligned} \quad (1.47)$$

$$\begin{aligned} f_{i+\frac{1}{2}} &= f_i + \left(\frac{\Delta x}{2}\right) \frac{\partial f}{\partial x}\Big|_i + \frac{1}{2!} \left(\frac{\Delta x}{2}\right)^2 \frac{\partial^2 f}{\partial x^2}\Big|_i \\ &\quad + \frac{1}{3!} \left(\frac{\Delta x}{2}\right)^3 \frac{\partial^3 f}{\partial x^3}\Big|_i + \frac{1}{4!} \left(\frac{\Delta x}{2}\right)^4 \frac{\partial^4 f}{\partial x^4}\Big|_i + O(\Delta x^5) \end{aligned} \quad (1.48)$$

$$\begin{aligned} f_{i-\frac{1}{2}} &= f_i - \left(\frac{\Delta x}{2}\right) \frac{\partial f}{\partial x}\Big|_i + \frac{1}{2!} \left(\frac{\Delta x}{2}\right)^2 \frac{\partial^2 f}{\partial x^2}\Big|_i \\ &\quad - \frac{1}{3!} \left(\frac{\Delta x}{2}\right)^3 \frac{\partial^3 f}{\partial x^3}\Big|_i + \frac{1}{4!} \left(\frac{\Delta x}{2}\right)^4 \frac{\partial^4 f}{\partial x^4}\Big|_i + O(\Delta x^5) \end{aligned} \quad (1.49)$$

$$\begin{aligned} f_{i-\frac{3}{2}} &= f_i - \left(\frac{3\Delta x}{2}\right) \frac{\partial f}{\partial x}\Big|_i + \frac{1}{2!} \left(\frac{3\Delta x}{2}\right)^2 \frac{\partial^2 f}{\partial x^2}\Big|_i \\ &\quad - \frac{1}{3!} \left(\frac{3\Delta x}{2}\right)^3 \frac{\partial^3 f}{\partial x^3}\Big|_i + \frac{1}{4!} \left(\frac{3\Delta x}{2}\right)^4 \frac{\partial^4 f}{\partial x^4}\Big|_i + O(\Delta x^5) \end{aligned} \quad (1.50)$$

(1.47) – (1.50) より

$$f_{i+\frac{3}{2}} - f_{i-\frac{3}{2}} = 2\left(\frac{3\Delta x}{2}\right) \frac{\partial u}{\partial x}\Big|_i + \frac{2}{3!} \left(\frac{3\Delta x}{2}\right)^3 \frac{\partial^3 f}{\partial x^3}\Big|_j + O(\Delta x^5) \quad (1.51)$$

また (1.48) – (1.49) より

$$f_{i+\frac{1}{2}} - f_{i-\frac{1}{2}} = 2\left(\frac{\Delta x}{2}\right) \frac{\partial u}{\partial x}\Big|_i + \frac{2}{3!} \left(\frac{\Delta x}{2}\right)^3 \frac{\partial^3 f}{\partial x^3}\Big|_j + O(\Delta x^5) \quad (1.52)$$

を得る. (1.51) – $3^3 \times$ (1.52) より

$$f_{i+\frac{3}{2}} - f_{i-\frac{3}{2}} - 27(f_{i+\frac{1}{2}} - f_{i-\frac{1}{2}}) = -24(\Delta x) \frac{\partial f}{\partial x}\Big|_i + O(\Delta x^5) \quad (1.53)$$

よって

$$\frac{\partial f}{\partial x}\Big|_i = \frac{27(f_{i+\frac{1}{2}} - f_{i-\frac{1}{2}}) - (f_{i+\frac{3}{2}} - f_{i-\frac{3}{2}})}{24\Delta x} + O(\Delta x^4) \quad (1.54)$$

を得る.

1.3 離散式

1.3.1 時間及び空間の2次精度離散式

時間および空間2次精度の離散式を気体（液体）中の音波と固体中の弾性波にわけて考える．

2次精度離散式 - 気体，液体中の音波

(1.1) また (1.2) を二次精度の中心差分式を用いて離散化させる．
まず (1.1), (1.2) を展開すれば

$$\frac{\partial}{\partial t} P = -\kappa \left(\frac{\partial}{\partial x} \dot{u} + \frac{\partial}{\partial y} \dot{v} + \frac{\partial}{\partial z} \dot{w} \right) \quad (1.55)$$

$$\frac{\partial}{\partial t} \dot{u} = -\frac{1}{\rho} \frac{\partial}{\partial x} P \quad (1.56)$$

$$\frac{\partial}{\partial t} \dot{v} = -\frac{1}{\rho} \frac{\partial}{\partial y} P \quad (1.57)$$

$$\frac{\partial}{\partial t} \dot{w} = -\frac{1}{\rho} \frac{\partial}{\partial z} P \quad (1.58)$$

となる。したがって (1.55) を二次の中心差分で書き下せば以下のようになる．

$$\begin{aligned} \frac{P^{n+\frac{1}{2}}(i, j, k) - P^{n-\frac{1}{2}}(i, j, k)}{\Delta t} &= -\kappa \left(\frac{\dot{u}^n(i + \frac{1}{2}, j, k) - \dot{u}^n(i - \frac{1}{2}, j, k)}{\Delta x} \right) \\ &\quad -\kappa \left(\frac{\dot{w}^n(i, j + \frac{1}{2}, k) - \dot{w}^n(i, j - \frac{1}{2}, k)}{\Delta y} \right) \\ &\quad -\kappa \left(\frac{\dot{w}^n(i, j, k + \frac{1}{2}) - \dot{w}^n(i, j, k - \frac{1}{2})}{\Delta z} \right) \end{aligned} \quad (1.59)$$

ここで誤差評価のため P, \dot{u}, \dot{v} , および \dot{w} をテーラー展開し上式に代入すると (式 (1.52) を参照)

$$\begin{aligned} \frac{\partial P}{\partial t} + \frac{2}{2^3 3!} \frac{\partial^3 P}{\partial t^3} \Delta t^2 + O(\Delta t^3) &= -\kappa \left(\frac{\partial \dot{u}}{\partial x} + \frac{2}{2^3 3!} \frac{\partial^3 \dot{u}}{\partial x^3} \Delta x^2 + O(\Delta x^3) \right) \\ &\quad -\kappa \left(\frac{\partial \dot{v}}{\partial y} + \frac{2}{2^3 3!} \frac{\partial^3 \dot{v}}{\partial y^3} \Delta y^2 + O(\Delta y^3) \right) \\ &\quad -\kappa \left(\frac{\partial \dot{w}}{\partial z} + \frac{2}{2^3 3!} \frac{\partial^3 \dot{w}}{\partial z^3} \Delta z^2 + O(\Delta z^3) \right) \end{aligned} \quad (1.60)$$

となり，さらに整理すれば

$$\begin{aligned}
\frac{\partial P}{\partial t} &= -\kappa \left(\frac{\partial}{\partial x} \dot{u} + \frac{\partial}{\partial y} \dot{v} + \frac{\partial}{\partial z} \dot{w} \right) \\
&+ \frac{1}{24} \left(\frac{\partial^3 P}{\partial t^3} \Delta t^2 + \frac{\partial^3 \dot{u}}{\partial x^3} \Delta x^2 + \frac{\partial^3 \dot{v}}{\partial y^3} \Delta y^2 + \frac{\partial^3 \dot{w}}{\partial z^3} \Delta z^2 \right) \\
&+ O(\Delta t^3) + O(\Delta x^3) + O(\Delta y^3) + O(\Delta z^3)
\end{aligned} \tag{1.61}$$

この場合の誤差の主要項は右辺第二項であり精度は2次である．

式 (1.59) を時間発展形の離散式に書き下せば

$$\begin{aligned}
P^{n+\frac{1}{2}}(i, j, k) &= P^{n-\frac{1}{2}}(i, j, k) - \kappa \frac{\Delta t}{\Delta x} \left(\dot{u}^n(i + \frac{1}{2}, j, k) - \dot{u}^n(i - \frac{1}{2}, j, k) \right) \\
&\quad - \kappa \frac{\Delta t}{\Delta y} \left(\dot{v}^n(i, j + \frac{1}{2}, k) - \dot{v}^n(i, j - \frac{1}{2}, k) \right) \\
&\quad - \kappa \frac{\Delta t}{\Delta z} \left(\dot{w}^n(i, j, k + \frac{1}{2}) - \dot{w}^n(i, j, k - \frac{1}{2}) \right)
\end{aligned} \tag{1.62}$$

となる．

また同様にして (1.55) の各成分を離散化すると以下のようになる．この場合の各離散式の精度も同様に2次である．

$$\begin{aligned}
\dot{u}^{n+1}(i + \frac{1}{2}, j, k) &= \dot{u}^n(i + \frac{1}{2}, j, k) \\
&\quad - \frac{\Delta t}{\rho \Delta x} \left(P^{n+\frac{1}{2}}(i + 1, j, k) - P^{n+\frac{1}{2}}(i, j, k) \right) \\
\dot{v}^{n+1}(j, i + \frac{1}{2}, k) &= \dot{v}^n(j, i + \frac{1}{2}, k) \\
&\quad - \frac{\Delta t}{\rho \Delta y} \left(P^{n+\frac{1}{2}}(i, j + 1, k) - P^{n+\frac{1}{2}}(i, j, k) \right) \\
\dot{w}^{n+1}(i, j, k + \frac{1}{2}) &= \dot{w}^n(i, j, k + \frac{1}{2}) \\
&\quad - \frac{\Delta t}{\rho \Delta z} \left(P^{n+\frac{1}{2}}(i, j, k + 1) - P^{n+\frac{1}{2}}(i, j, k) \right)
\end{aligned}$$

各成分の格子点上の位置関係については図 1.2を参照．

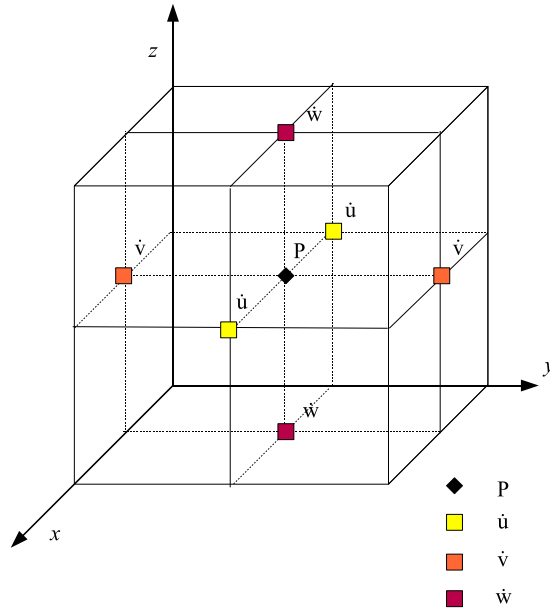


図 1.2: 音波の圧力と変位ベクトルを離散化しグリッドに並べた図

2 次精度離散式 - 固体中の弾性波

(1.26) と (1.36) を時間と空間についての 2 次精度の中心差分で書き換える。まず (1.26) の第一式を差分にして書き下すと

$$\begin{aligned}
 \frac{T_1^{n+\frac{1}{2}}(i, j, k) - T_1^{n-\frac{1}{2}}(i, j, k)}{\Delta t} &= c_{11} \frac{\dot{u}^n(i + \frac{1}{2}, j, k) - \dot{u}^n(i - \frac{1}{2}, j, k)}{\Delta x} \\
 &+ c_{12} \frac{\dot{v}^n(i, j + \frac{1}{2}, k) - \dot{v}^n(i, j - \frac{1}{2}, k)}{\Delta y} \\
 &+ c_{12} \frac{\dot{w}^n(i, j, k + \frac{1}{2}) - \dot{w}^n(i, j, k - \frac{1}{2})}{\Delta z}
 \end{aligned}$$

であるから,

$$\begin{aligned} T_1^{n+\frac{1}{2}}(i, j, k) &= T_1^{n-\frac{1}{2}}(i, j, k) \\ &+ c_{11} \frac{\Delta t}{\Delta x} \left(\dot{u}^n(i + \frac{1}{2}, j, k) - \dot{u}^n(i - \frac{1}{2}, j, k) \right) \\ &+ c_{12} \frac{\Delta t}{\Delta y} \left(\dot{v}^n(i, j + \frac{1}{2}, k) - \dot{v}^n(i, j - \frac{1}{2}, k) \right) \\ &+ c_{13} \frac{\Delta t}{\Delta z} \left(\dot{w}^n(i, j, k + \frac{1}{2}) - \dot{w}^n(i, j, k - \frac{1}{2}) \right) \end{aligned}$$

となる.

n は時間ステップで (i, j, k) は三次元格子点 (x, y, z) を表す. Δt は時間の刻み幅で $\Delta x, \Delta y, \Delta z$ はそれぞれ x 方向, y 方向, z 方向の空間刻み幅である. 以下同様にして, 残りの応力成

分を差分であらわせば,

$$\begin{aligned}
T_2^{n+\frac{1}{2}}(i, j, k) &= T_2^{n-\frac{1}{2}}(i, j, k) \\
&+ c_{12} \frac{\Delta t}{\Delta x} \left(\dot{u}^n(i + \frac{1}{2}, j, k) - \dot{u}^n(i - \frac{1}{2}, j, k) \right) \\
&+ c_{11} \frac{\Delta t}{\Delta y} \left(\dot{v}^n(i, j + \frac{1}{2}, k) - \dot{v}^n(i, j - \frac{1}{2}, k) \right) \\
&+ c_{12} \frac{\Delta t}{\Delta z} \left(\dot{w}^n(i, j, k + \frac{1}{2}) - \dot{w}^n(i, j, k - \frac{1}{2}) \right) \\
T_3^{n+\frac{1}{2}}(i, j, k) &= T_3^{n-\frac{1}{2}}(i, j, k) \\
&+ c_{12} \frac{\Delta t}{\Delta x} \left(\dot{u}^n(i + \frac{1}{2}, j, k) - \dot{u}^n(i - \frac{1}{2}, j, k) \right) \\
&+ c_{12} \frac{\Delta t}{\Delta y} \left(\dot{v}^n(i, j + \frac{1}{2}, k) - \dot{v}^n(i, j - \frac{1}{2}, k) \right) \\
&+ c_{11} \frac{\Delta t}{\Delta z} \left(\dot{w}^n(i, j, k + \frac{1}{2}) - \dot{w}^n(i, j, k - \frac{1}{2}) \right) \\
T_4^{n+\frac{1}{2}}(i, j + \frac{1}{2}, k + \frac{1}{2}) &= T_4^{n-\frac{1}{2}}(i, j + \frac{1}{2}, k + \frac{1}{2}) \\
&+ c_{44} \frac{\Delta t}{\Delta z} \left(\dot{v}^n(i, j + \frac{1}{2}, k + 1) - \dot{v}^n(i, j + \frac{1}{2}, k) \right) \\
&+ c_{44} \frac{\Delta t}{\Delta y} \left(\dot{w}^n(i, j + 1, k + \frac{1}{2}) - \dot{w}^n(i, j, k + \frac{1}{2}) \right) \\
T_5^{n+\frac{1}{2}}(i + \frac{1}{2}, j, k + \frac{1}{2}) &= T_5^{n-\frac{1}{2}}(i + \frac{1}{2}, j, k + \frac{1}{2}) \\
&+ c_{44} \frac{\Delta t}{\Delta z} \left(\dot{u}^n(i + \frac{1}{2}, j, k + 1) - \dot{u}^n(i + \frac{1}{2}, j, k) \right) \\
&+ c_{44} \frac{\Delta t}{\Delta x} \left(\dot{w}^n(i + 1, j, k + \frac{1}{2}) - \dot{w}^n(i, j, k + \frac{1}{2}) \right) \\
T_6^{n+\frac{1}{2}}(i + \frac{1}{2}, j + \frac{1}{2}, k) &= T_6^{n-\frac{1}{2}}(i + \frac{1}{2}, j + \frac{1}{2}, k) \\
&+ c_{44} \frac{\Delta t}{\Delta y} \left(\dot{u}^n(i + \frac{1}{2}, j + 1, k) - \dot{u}^n(i + \frac{1}{2}, j, k) \right) \\
&+ c_{44} \frac{\Delta t}{\Delta x} \left(\dot{v}^n(i + 1, j + \frac{1}{2}, k) - \dot{v}^n(i, j + \frac{1}{2}, k) \right)
\end{aligned}$$

となる. また式 (1.36) についても同様にして速度ベクトル成分を計算できる.

$$\begin{aligned}
\dot{u}^{n+1}(i + \frac{1}{2}, j, k) &= \dot{u}^n(i + \frac{1}{2}, j, k) \\
&+ \frac{\Delta t}{\rho \Delta x} \left(T_1^{n+\frac{1}{2}}(i + 1, j, k) - T_1^{n+\frac{1}{2}}(i, j, k) \right) \\
&+ \frac{\Delta t}{\rho \Delta z} \left(T_5^{n+\frac{1}{2}}(i + \frac{1}{2}, j, k + \frac{1}{2}) - T_5^{n+\frac{1}{2}}(i + \frac{1}{2}, j, k - \frac{1}{2}) \right) \\
&+ \frac{\Delta t}{\rho \Delta y} \left(T_6^{n+\frac{1}{2}}(i + \frac{1}{2}, j + \frac{1}{2}, k) - T_6^{n+\frac{1}{2}}(i + \frac{1}{2}, j - \frac{1}{2}, k) \right) \\
\dot{v}^{n+1}(i, j + \frac{1}{2}, k) &= \dot{v}^n(i, j + \frac{1}{2}, k) \\
&+ \frac{\Delta t}{\rho \Delta y} \left(T_2^{n+\frac{1}{2}}(i, j + 1, k) - T_2^{n+\frac{1}{2}}(i, j, k) \right) \\
&+ \frac{\Delta t}{\rho \Delta z} \left(T_4^{n+\frac{1}{2}}(i, j + \frac{1}{2}, k + \frac{1}{2}) - T_4^{n+\frac{1}{2}}(i, j + \frac{1}{2}, k - \frac{1}{2}) \right) \\
&+ \frac{\Delta t}{\rho \Delta x} \left(T_6^{n+\frac{1}{2}}(i + \frac{1}{2}, j + \frac{1}{2}, k) - T_6^{n+\frac{1}{2}}(i - \frac{1}{2}, j + \frac{1}{2}, k) \right) \\
\dot{w}^{n+1}(i, j, k + \frac{1}{2}) &= \dot{w}^n(i, j, k + \frac{1}{2}) \\
&+ \frac{\Delta t}{\rho \Delta z} \left(T_3^{n+\frac{1}{2}}(i, j, k + 1) - T_3^{n+\frac{1}{2}}(i, j, k) \right) \\
&+ \frac{\Delta t}{\rho \Delta y} \left(T_4^{n+\frac{1}{2}}(i, j + \frac{1}{2}, k + \frac{1}{2}) - T_4^{n+\frac{1}{2}}(i, j - \frac{1}{2}, k + \frac{1}{2}) \right) \\
&+ \frac{\Delta t}{\rho \Delta x} \left(T_5^{n+\frac{1}{2}}(i + \frac{1}{2}, j, k + \frac{1}{2}) - T_5^{n+\frac{1}{2}}(i - \frac{1}{2}, j, k + \frac{1}{2}) \right)
\end{aligned}$$

セル中心を (i, j, k) に置くとする. (T_1, T_2, T_3) はこのセル中心にある. このときこのセル中心にある他の応力成分と粒子速度成分については Lagrange 多項式により補間する. 精度は 2 次と 4 次を用意し選択可能にする.

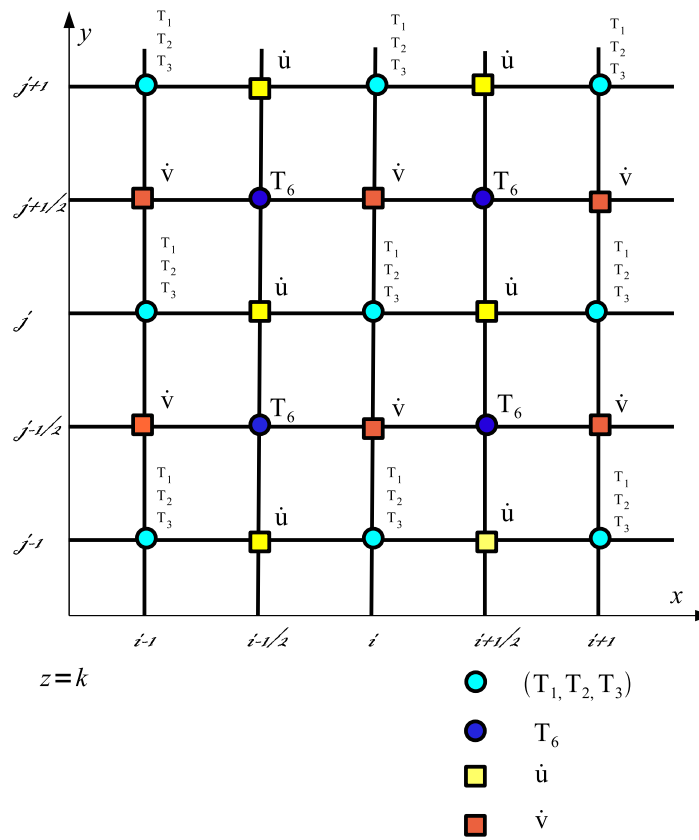


図 1.3: $z = k$ 面における離散化の図．垂直応力 (T_1, T_2, T_3) , せん断応力 T_6 , 粒子速度 \hat{u}, \hat{v} を各格子上に配置する．

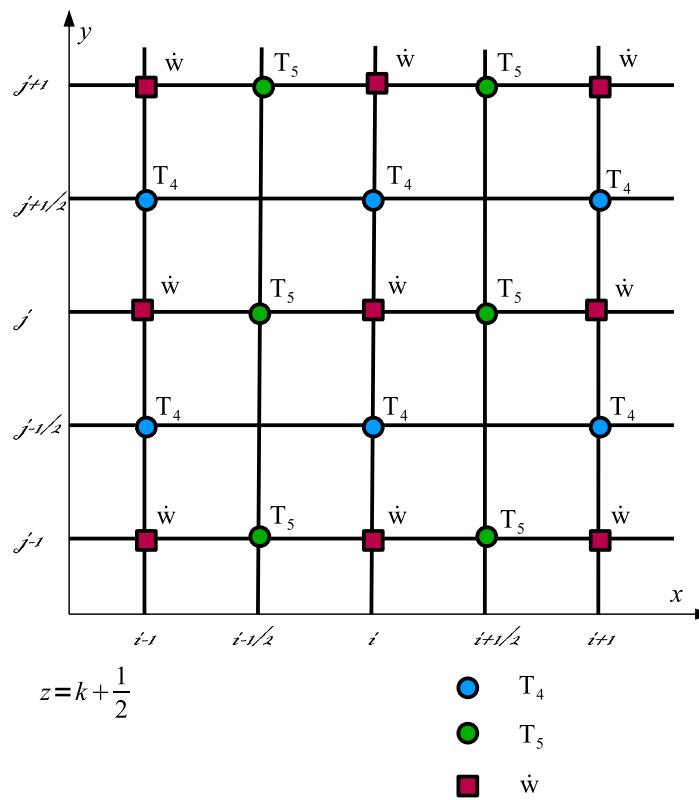


図 1.4: $z = k + 1$ 面における離散化の図 . せん断応力 T_4, T_5 及び粒子速度 \dot{w} を格子上に配置する .

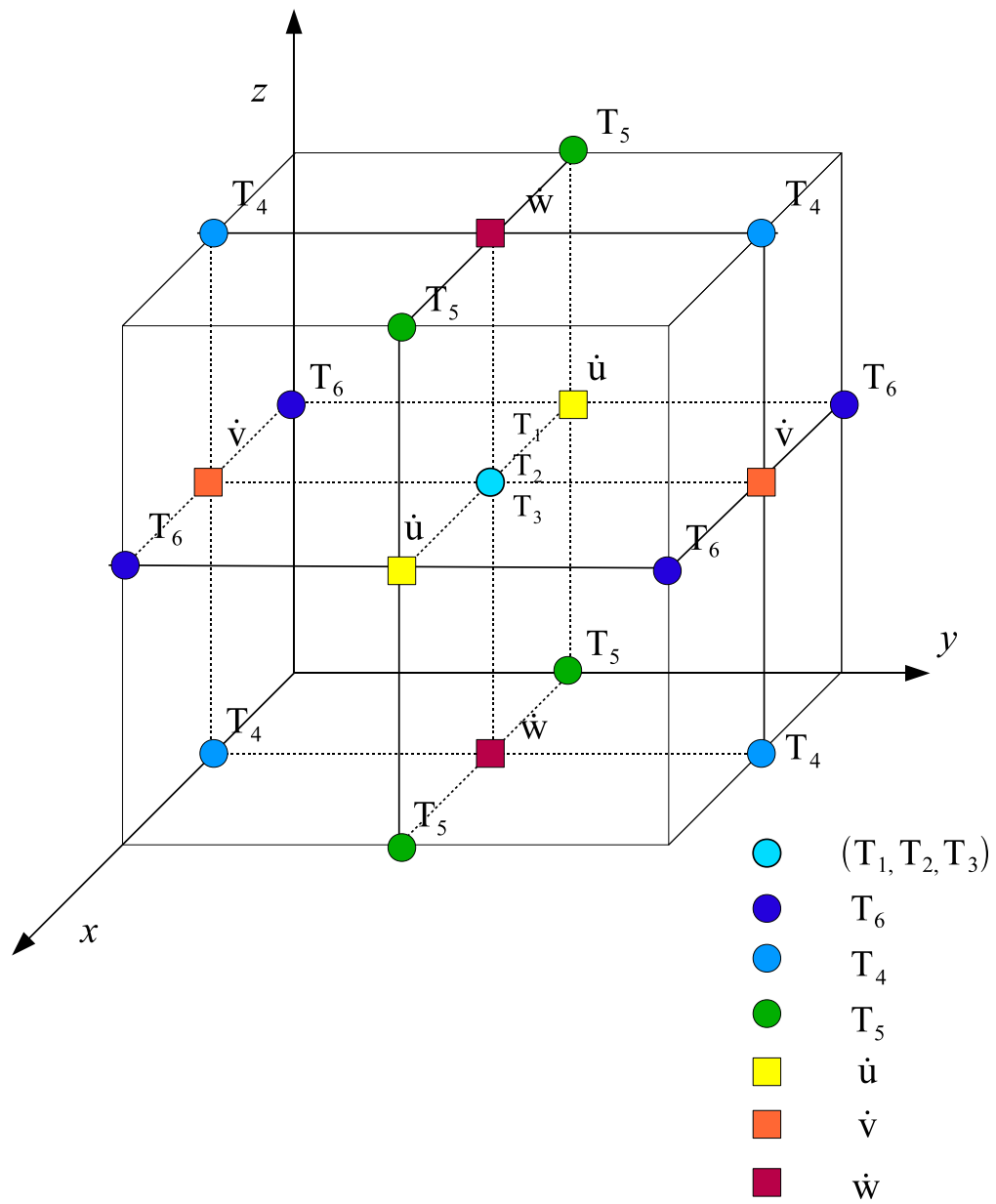


图 1.5: 离散化

1.3.2 時間 2 次精度及び空間 4 次精度の離散式

(1.26) と (1.36) を時間については式 (1.46) の 4 次精度中心差分式また時間については式 (1.45) の 2 次精度中心差分式を使用して書きください。

空間 4 次精度の離散式 - 音波

(1.1) また (1.2) を時間について 2 次精度，空間について 4 次精度の中心差分式を用いて離散化する．まず式 (1.1) を時間 2 次，空間 4 次の中心差分で書き下せば以下のようになる．

$$\begin{aligned}
 & \frac{P^{n+\frac{1}{2}}(i, j, k) - P^{n-\frac{1}{2}}(i, j, k)}{\Delta t} = \\
 & -\kappa \left\{ \frac{9(\dot{u}^n(i + \frac{1}{2}, j, k) - \dot{u}^n(i - \frac{1}{2}, j, k))}{8\Delta x} - \frac{\dot{u}^n(i + \frac{3}{2}, j, k) - \dot{u}^n(i - \frac{3}{2}, j, k)}{24\Delta x} \right\} \\
 & -\kappa \left\{ \frac{9(\dot{v}^n(i, j + \frac{1}{2}, k) - \dot{v}^n(i, j - \frac{1}{2}, k))}{8\Delta x} - \frac{\dot{v}^n(i, j + \frac{3}{2}, k) - \dot{v}^n(i, j - \frac{3}{2}, k)}{24\Delta x} \right\} \\
 & -\kappa \left\{ \frac{9(\dot{w}^n(i, j, k + \frac{1}{2}) - \dot{w}^n(i, j, k - \frac{1}{2}))}{8\Delta x} - \frac{\dot{w}^n(i, j, k + \frac{3}{2}) - \dot{w}^n(i, j, k - \frac{3}{2})}{24\Delta x} \right\}
 \end{aligned} \tag{1.63}$$

精度評価の為に P, \dot{u}, \dot{v} と \dot{w} をテーラー展開し上式に代入する．式 (1.51), (1.52) を参照．さらに整理すれば

$$\begin{aligned}
 \frac{\partial P}{\partial t} &= -\kappa \left(\frac{\partial}{\partial x} \dot{u} + \frac{\partial}{\partial y} \dot{v} + \frac{\partial}{\partial z} \dot{w} \right) \\
 &+ \frac{1}{24} \frac{\partial^3 P}{\partial t^3} \Delta t^2 - \frac{3}{640} \left\{ \Delta x^4 \frac{\partial^5 \dot{u}}{\partial x^5} + \Delta y^4 \frac{\partial^5 \dot{v}}{\partial y^5} + \Delta z^4 \frac{\partial^5 \dot{w}}{\partial z^5} \right\} \\
 &+ O(\Delta t^3) + O(\Delta x^5) + O(\Delta y^5) + O(\Delta z^5)
 \end{aligned} \tag{1.64}$$

となる．誤差の主要項は第二項である．さらに式 (1.63) を時間発展形に書き直せば

$$\begin{aligned}
P^{n+\frac{1}{2}}(i, j, k) &= P^{n-\frac{1}{2}}(i, j, k) \\
&- \kappa \frac{9\Delta t}{8\Delta x} \left(\dot{u}^n(i + \frac{1}{2}, j, k) - \dot{u}^n(i - \frac{1}{2}, j, k) \right) \\
&+ \kappa \frac{\Delta t}{24\Delta x} \left(\dot{u}^n(i + \frac{3}{2}, j, k) - \dot{u}^n(i - \frac{3}{2}, j, k) \right) \\
&- \kappa \frac{9\Delta t}{8\Delta y} \left(\dot{v}^n(i, j + \frac{1}{2}, k) - \dot{v}^n(i, j - \frac{1}{2}, k) \right) \\
&+ \kappa \frac{\Delta t}{24\Delta y} \left(\dot{v}^n(i, j + \frac{3}{2}, k) - \dot{v}^n(i, j - \frac{3}{2}, k) \right) \\
&- \kappa \frac{8\Delta t}{9\Delta x} \left(\dot{w}^n(i, j, k + \frac{1}{2}) - \dot{w}^n(i, j, k - \frac{1}{2}) \right) \\
&+ \kappa \frac{\Delta t}{24\Delta x} \left(\dot{w}^n(i, j, k + \frac{3}{2}) - \dot{w}^n(i, j, k - \frac{3}{2}) \right)
\end{aligned} \tag{1.65}$$

また同様に (1.2) の各成分も離散化すると以下ようになる．

$$\begin{aligned}
\dot{u}^{n+1}(i + \frac{1}{2}, j, k) &= \dot{u}^{n+\frac{1}{2}}(i + \frac{1}{2}, j, k) \\
&- \frac{9\Delta t}{8\rho\Delta x} \left(P^{n+\frac{1}{2}}(i + 1, j, k) - P^{n+\frac{1}{2}}(i, j, k) \right) \\
&+ \frac{\Delta t}{24\rho\Delta x} \left(P^{n+\frac{3}{2}}(i + 1, j, k) - P^{n+\frac{3}{2}}(i, j, k) \right) \\
\dot{v}^{n+1}(j, i + \frac{1}{2}, k) &= \dot{v}^{n+\frac{1}{2}}(j, i + \frac{1}{2}, k) \\
&- \frac{9\Delta t}{8\rho\Delta y} \left(P^{n+\frac{1}{2}}(i, j + 1, k) - P^{n+\frac{1}{2}}(i, j, k) \right) \\
&+ \frac{\Delta t}{24\rho\Delta y} \left(P^{n+\frac{3}{2}}(i, j + 1, k) - P^{n+\frac{3}{2}}(i, j, k) \right) \\
\dot{w}^{n+1}(i, j, k + \frac{1}{2}) &= \dot{w}^{n+\frac{1}{2}}(i, j, k + \frac{1}{2}) \\
&- \frac{9\Delta t}{8\rho\Delta x} \left(P^{n+\frac{1}{2}}(i, j, k + 1) - P^{n+\frac{1}{2}}(i, j, k) \right) \\
&+ \frac{\Delta t}{24\rho\Delta x} \left(P^{n+\frac{3}{2}}(i, j, k + 1) - P^{n+\frac{3}{2}}(i, j, k) \right)
\end{aligned} \tag{1.66}$$

空間 4 次精度の離散式 - 弾性波

(1.26) と (1.36) を時間について 2 次また空間については 4 次精度の中心差分で書き下す. まず例として (1.26) の T_1 について差分を実行する .

$$\begin{aligned}
 \frac{T_1^{n+\frac{1}{2}}(i, j, k) - T_1^{n-\frac{1}{2}}(i, j, k)}{\Delta t} &= c_{11} \frac{9(\dot{u}^n(i + \frac{1}{2}, j, k) - \dot{u}^n(i - \frac{1}{2}, j, k))}{8\Delta x} \\
 &- c_{11} \frac{\dot{u}^n(i + \frac{3}{2}, j, k) - \dot{u}^n(i - \frac{3}{2}, j, k)}{24\Delta x} \\
 &+ c_{12} \frac{9(\dot{v}^n(i, j + \frac{1}{2}, k) - \dot{v}^n(i, j - \frac{1}{2}, k))}{8\Delta y} \\
 &- c_{12} \frac{\dot{v}^n(i, j + \frac{3}{2}, k) - \dot{v}^n(i, j - \frac{3}{2}, k)}{24\Delta y} \\
 &+ c_{12} \frac{9(\dot{w}^n(i, j, k + \frac{1}{2}) - \dot{w}^n(i, j, k - \frac{1}{2}))}{8\Delta z} \\
 &- c_{12} \frac{\dot{w}^n(i, j, k + \frac{3}{2}) - \dot{w}^n(i, j, k - \frac{3}{2})}{24\Delta z}
 \end{aligned}$$

したがって T_1 について時間発展形に書けば以下のようになる .

$$\begin{aligned}
 T_1^{n+\frac{1}{2}}(i, j, k) &= T_1^{n-\frac{1}{2}}(i, j, k) \\
 &+ c_{11} \frac{9\Delta t}{8\Delta x} \left(\dot{u}^n(i + \frac{1}{2}, j, k) - \dot{u}^n(i - \frac{1}{2}, j, k) \right) \\
 &- c_{11} \frac{\Delta t}{24\Delta x} \left(\dot{u}^n(i + \frac{3}{2}, j, k) - \dot{u}^n(i - \frac{3}{2}, j, k) \right) \\
 &+ c_{12} \frac{9\Delta t}{8\Delta y} \left(\dot{v}^n(i, j + \frac{1}{2}, k) - \dot{v}^n(i, j - \frac{1}{2}, k) \right) \\
 &- c_{12} \frac{\Delta t}{24\Delta y} \left(\dot{v}^n(i, j + \frac{3}{2}, k) - \dot{v}^n(i, j - \frac{3}{2}, k) \right) \\
 &+ c_{12} \frac{9\Delta t}{8\Delta z} \left(\dot{w}^n(i, j, k + \frac{1}{2}) - \dot{w}^n(i, j, k - \frac{1}{2}) \right) \\
 &- c_{12} \frac{\Delta t}{24\Delta z} \left(\dot{w}^n(i, j, k + \frac{3}{2}) - \dot{w}^n(i, j, k - \frac{3}{2}) \right)
 \end{aligned}$$

以下同様にして、残りの応力成分を差分であらわせば、

$$\begin{aligned}
T_2^{n+\frac{1}{2}}(i, j, k) &= T_2^{n-\frac{1}{2}}(i, j, k) \\
&+ c_{12} \frac{9\Delta t}{8\Delta x} \left(\dot{u}^n(i + \frac{1}{2}, j, k) - \dot{u}^n(i - \frac{1}{2}, j, k) \right) \\
&- c_{12} \frac{\Delta t}{24\Delta x} \left(\dot{u}^n(i + \frac{3}{2}, j, k) - \dot{u}^n(i - \frac{3}{2}, j, k) \right) \\
&+ c_{11} \frac{9\Delta t}{8\Delta y} \left(\dot{v}^n(i, j + \frac{1}{2}, k) - \dot{v}^n(i, j - \frac{1}{2}, k) \right) \\
&- c_{11} \frac{\Delta t}{24\Delta y} \left(\dot{v}^n(i, j + \frac{3}{2}, k) - \dot{v}^n(i, j - \frac{3}{2}, k) \right) \\
&+ c_{12} \frac{9\Delta t}{8\Delta z} \left(\dot{w}^n(i, j, k + \frac{1}{2}) - \dot{w}^n(i, j, k - \frac{1}{2}) \right) \\
&- c_{12} \frac{\Delta t}{24\Delta z} \left(\dot{w}^n(i, j, k + \frac{3}{2}) - \dot{w}^n(i, j, k - \frac{3}{2}) \right)
\end{aligned}$$

$$\begin{aligned}
T_3^{n+\frac{1}{2}}(i, j, k) &= T_3^{n-\frac{1}{2}}(i, j, k) \\
&+ c_{12} \frac{9\Delta t}{8\Delta x} \left(\dot{u}^n(i + \frac{1}{2}, j, k) - \dot{u}^n(i - \frac{1}{2}, j, k) \right) \\
&- c_{12} \frac{\Delta t}{24\Delta x} \left(\dot{u}^n(i + \frac{3}{2}, j, k) - \dot{u}^n(i - \frac{3}{2}, j, k) \right) \\
&+ c_{12} \frac{9\Delta t}{8\Delta y} \left(\dot{v}^n(i, j + \frac{1}{2}, k) - \dot{v}^n(i, j - \frac{1}{2}, k) \right) \\
&- c_{12} \frac{\Delta t}{24\Delta y} \left(\dot{v}^n(i, j + \frac{3}{2}, k) - \dot{v}^n(i, j - \frac{3}{2}, k) \right) \\
&+ c_{11} \frac{9\Delta t}{8\Delta z} \left(\dot{w}^n(i, j, k + \frac{1}{2}) - \dot{w}^n(i, j, k - \frac{1}{2}) \right) \\
&- c_{11} \frac{\Delta t}{24\Delta z} \left(\dot{w}^n(i, j, k + \frac{3}{2}) - \dot{w}^n(i, j, k - \frac{3}{2}) \right)
\end{aligned}$$

$$\begin{aligned}
T_4^{n+\frac{1}{2}}(i, j + \frac{1}{2}, k + \frac{1}{2}) &= T_4^{n-\frac{1}{2}}(i, j + \frac{1}{2}, k + \frac{1}{2}) \\
&+ c_{44} \frac{9\Delta t}{8\Delta z} \left(\dot{v}^n(i, j + \frac{1}{2}, k + 1) - \dot{v}^n(i, j + \frac{1}{2}, k) \right) \\
&- c_{44} \frac{\Delta t}{24\Delta z} \left(\dot{v}^n(i, j + \frac{1}{2}, k + 2) - \dot{v}^n(i, j + \frac{1}{2}, k - 1) \right) \\
&+ c_{44} \frac{9\Delta t}{8\Delta y} \left(\dot{w}^n(i, j + 1, k + \frac{1}{2}) - \dot{w}^n(i, j, k + \frac{1}{2}) \right) \\
&- c_{44} \frac{\Delta t}{24\Delta y} \left(\dot{w}^n(i, j + 2, k + \frac{1}{2}) - \dot{w}^n(i, j - 1, k + \frac{1}{2}) \right)
\end{aligned}$$

$$\begin{aligned}
T_5^{n+\frac{1}{2}}(i + \frac{1}{2}, j, k + \frac{1}{2}) &= T_5^{n-\frac{1}{2}}(i + \frac{1}{2}, j, k + \frac{1}{2}) \\
&+ c_{44} \frac{9\Delta t}{8\Delta z} \left(\dot{u}^n(i + \frac{1}{2}, j, k + 1) - \dot{u}^n(i + \frac{1}{2}, j, k) \right) \\
&- c_{44} \frac{\Delta t}{24\Delta z} \left(\dot{u}^n(i + \frac{1}{2}, j, k + 2) - \dot{u}^n(i + \frac{1}{2}, j, k - 1) \right) \\
&+ c_{44} \frac{9\Delta t}{8\Delta x} \left(\dot{w}^n(i + 1, j, k + \frac{1}{2}) - \dot{w}^n(i, j, k + \frac{1}{2}) \right) \\
&- c_{44} \frac{\Delta t}{24\Delta x} \left(\dot{w}^n(i + 2, j, k + \frac{1}{2}) - \dot{w}^n(i - 2, j, k + \frac{1}{2}) \right)
\end{aligned}$$

$$\begin{aligned}
T_6^{n+\frac{1}{2}}(i + \frac{1}{2}, j + \frac{1}{2}, k) &= T_6^{n-\frac{1}{2}}(i + \frac{1}{2}, j + \frac{1}{2}, k) \\
&+ c_{44} \frac{9\Delta t}{8\Delta y} \left(\dot{u}^n(i + \frac{1}{2}, j + 1, k) - \dot{u}^n(i + \frac{1}{2}, j, k) \right) \\
&- c_{44} \frac{\Delta t}{24\Delta y} \left(\dot{u}^n(i + \frac{1}{2}, j + 2, k) - \dot{u}^n(i + \frac{1}{2}, j - 1, k) \right) \\
&+ c_{44} \frac{9\Delta t}{8\Delta x} \left(\dot{v}^n(i + 1, j + \frac{1}{2}, k) - \dot{v}^n(i, j + \frac{1}{2}, k) \right) \\
&+ c_{44} \frac{\Delta t}{24\Delta x} \left(\dot{v}^n(i + 2, j + \frac{1}{2}, k) - \dot{v}^n(i - 1, j + \frac{1}{2}, k) \right)
\end{aligned}$$

となる.

また速度ベクトル (1.36) についても同様に中心差分をとり離散化すれば以下の

よくなる.

$$\begin{aligned}
\dot{u}^{n+1}(i + \frac{1}{2}, j, k) &= \dot{u}^n(i + \frac{1}{2}, j, k) \\
&+ \frac{9\Delta t}{8\rho\Delta x} \left(T_1^{n+\frac{1}{2}}(i + 1, j, k) - T_1^{n+\frac{1}{2}}(i, j, k) \right) \\
&- \frac{\Delta t}{24\rho\Delta x} \left(T_1^{n+\frac{1}{2}}(i + 2, j, k) - T_1^{n+\frac{1}{2}}(i - 1, j, k) \right) \\
&+ \frac{9\Delta t}{8\rho\Delta z} \left(T_5^{n+\frac{1}{2}}(i + \frac{1}{2}, j, k + \frac{1}{2}) - T_5^{n+\frac{1}{2}}(i + \frac{1}{2}, j, k - \frac{1}{2}) \right) \\
&- \frac{\Delta t}{24\rho\Delta z} \left(T_5^{n+\frac{1}{2}}(i + \frac{1}{2}, j, k + \frac{3}{2}) - T_5^{n+\frac{1}{2}}(i + \frac{1}{2}, j, k - \frac{3}{2}) \right) \\
&+ \frac{9\Delta t}{8\rho\Delta y} \left(T_6^{n+\frac{1}{2}}(i + \frac{1}{2}, j + \frac{1}{2}, k) - T_6^{n+\frac{1}{2}}(i + \frac{1}{2}, j - \frac{1}{2}, k) \right) \\
&- \frac{\Delta t}{24\rho\Delta y} \left(T_6^{n+\frac{1}{2}}(i + \frac{1}{2}, j + \frac{3}{2}, k) - T_6^{n+\frac{1}{2}}(i + \frac{1}{2}, j - \frac{3}{2}, k) \right)
\end{aligned}$$

$$\begin{aligned}
\dot{v}^{n+1}(i, j + \frac{1}{2}, k) &= \dot{v}^n(i, j + \frac{1}{2}, k) \\
&+ \frac{9\Delta t}{8\rho\Delta y} \left(T_2^{n+\frac{1}{2}}(i, j + 1, k) - T_2^{n+\frac{1}{2}}(i, j, k) \right) \\
&- \frac{\Delta t}{24\rho\Delta y} \left(T_2^{n+\frac{1}{2}}(i, j + 2, k) - T_2^{n+\frac{1}{2}}(i, j - 1, k) \right) \\
&+ \frac{9\Delta t}{8\rho\Delta z} \left(T_4^{n+\frac{1}{2}}(i, j + \frac{1}{2}, k + \frac{1}{2}) - T_4^{n+\frac{1}{2}}(i, j + \frac{1}{2}, k - \frac{1}{2}) \right) \\
&- \frac{\Delta t}{24\rho\Delta z} \left(T_4^{n+\frac{1}{2}}(i, j + \frac{1}{2}, k + \frac{3}{2}) - T_4^{n+\frac{1}{2}}(i, j + \frac{1}{2}, k - \frac{3}{2}) \right) \\
&+ \frac{9\Delta t}{8\rho\Delta x} \left(T_6^{n+\frac{1}{2}}(i + \frac{1}{2}, j + \frac{1}{2}, k) - T_6^{n+\frac{1}{2}}(i - \frac{1}{2}, j + \frac{1}{2}, k) \right) \\
&- \frac{\Delta t}{24\rho\Delta x} \left(T_6^{n+\frac{1}{2}}(i + \frac{3}{2}, j + \frac{1}{2}, k) - T_6^{n+\frac{1}{2}}(i - \frac{3}{2}, j + \frac{1}{2}, k) \right)
\end{aligned}$$

$$\begin{aligned}
\dot{w}^{n+1}(i, j, k + \frac{1}{2}) &= \dot{w}^n(i, j, k + \frac{1}{2}) \\
&+ \frac{9\Delta t}{8\rho\Delta z} \left(T_3^{n+\frac{1}{2}}(i, j, k + 1) - T_3^{n+\frac{1}{2}}(i, j, k) \right) \\
&- \frac{\Delta t}{24\rho\Delta z} \left(T_3^{n+\frac{1}{2}}(i, j, k + 2) - T_3^{n+\frac{1}{2}}(i, j, k - 1) \right) \\
&+ \frac{9\Delta t}{8\rho\Delta y} \left(T_4^{n+\frac{1}{2}}(i, j + \frac{1}{2}, k + \frac{1}{2}) - T_4^{n+\frac{1}{2}}(i, j - \frac{1}{2}, k + \frac{1}{2}) \right) \\
&- \frac{\Delta t}{24\rho\Delta y} \left(T_4^{n+\frac{1}{2}}(i, j + \frac{3}{2}, k + \frac{1}{2}) - T_4^{n+\frac{1}{2}}(i, j - \frac{3}{2}, k + \frac{1}{2}) \right) \\
&+ \frac{9\Delta t}{8\rho\Delta x} \left(T_5^{n+\frac{1}{2}}(i + \frac{1}{2}, j, k + \frac{1}{2}) - T_5^{n+\frac{1}{2}}(i - \frac{1}{2}, j, k + \frac{1}{2}) \right) \\
&- \frac{\Delta t}{24\rho\Delta x} \left(T_5^{n+\frac{1}{2}}(i + \frac{3}{2}, j, k + \frac{1}{2}) - T_5^{n+\frac{1}{2}}(i - \frac{3}{2}, j, k + \frac{1}{2}) \right)
\end{aligned}$$

1.4 境界条件

1.4.1 想定する境界条件

想定する境界条件 .

1. 真空との境界 (自由境界)

この場合の条件は境界での応力が0になる。図 1.6のように境界をとる . 境界接点上の \dot{v} での密度は $\frac{1}{6}\rho$ とし , \dot{u} では $\frac{5}{6}\rho$ とする . 境界が $y = j + \frac{1}{2}$ にあるとして粒子速度ベクトル各々の成分を書き下すと以下ようになる . 図 1.6, 図 1.7を参照

$$\begin{aligned}
 \dot{u}^{n+1}(i + \frac{1}{2}, j, k) &= \dot{u}^n(i + \frac{1}{2}, j, k) \\
 &+ \frac{6}{5\rho} \frac{\Delta t}{\Delta x} \left(T_1^{n+\frac{1}{2}}(i + 1, j, k) - T_1^{n+\frac{1}{2}}(i, j, k) \right) \\
 &+ \frac{6}{5\rho} \frac{\Delta t}{\Delta z} \left(T_5^{n+\frac{1}{2}}(i + \frac{1}{2}, j, k + \frac{1}{2}) - T_5^{n+\frac{1}{2}}(i + \frac{1}{2}, j, k - \frac{1}{2}) \right) \\
 \dot{v}^{n+1}(i, j + \frac{1}{2}, k) &= \dot{v}^n(i, j + \frac{1}{2}, k) \\
 &+ \frac{6}{\rho} \frac{\Delta t}{\Delta y} \left(-T_2^{n+\frac{1}{2}}(i, j, k) \right) \\
 \dot{w}^{n+1}(i, j, k + \frac{1}{2}) &= \dot{w}^n(i, j, k + \frac{1}{2}) \\
 &+ \frac{6}{5\rho} \frac{\Delta t}{\Delta z} \left(T_3^{n+\frac{1}{2}}(i, j, k + 1) - T_3^{n+\frac{1}{2}}(i, j, k) \right) \\
 &+ \frac{6}{5\rho} \frac{\Delta t}{\Delta x} \left(T_5^{n+\frac{1}{2}}(i + \frac{1}{2}, j, k + \frac{1}{2}) - T_5^{n+\frac{1}{2}}(i - \frac{1}{2}, j, k + \frac{1}{2}) \right)
 \end{aligned}$$

応力ベクトルの成分は

$$\begin{aligned}
 T_1^{n+\frac{1}{2}}(i, j, k) &= T_1^{n-\frac{1}{2}}(i, j, k) \\
 &+ c_{11} \frac{\Delta t}{\Delta x} \left(\dot{u}^n(i + \frac{1}{2}, j, k) - \dot{u}^n(i - \frac{1}{2}, j, k) \right) \\
 &+ c_{12} \frac{\Delta t}{\Delta y} \left(\dot{v}^n(i, j + \frac{1}{2}, k) - \dot{v}^n(i, j - \frac{1}{2}, k) \right) \\
 &+ c_{12} \frac{\Delta t}{\Delta z} \left(\dot{w}^n(i, j, k + \frac{1}{2}) - \dot{w}^n(i, j, k - \frac{1}{2}) \right)
 \end{aligned}$$

一方スカラー速度ポテンシャルとベクトル速度ポテンシャルを計算する際も境界

では同様の境界条件を適用する．まず式 (1.42) は

$$\begin{aligned}
\phi^{n+\frac{1}{2}}(i, j, k) &= \phi^{n-\frac{1}{2}}(i, j, k) \\
&+ c_p^2 \frac{\Delta t}{\Delta x} \left\{ \frac{5}{6} \dot{u}^n(i + \frac{1}{2}, j, k) - \frac{5}{6} \dot{u}^n(i - \frac{1}{2}, j, k) \right\} \\
&+ c_p^2 \frac{\Delta t}{\Delta y} \left\{ \frac{1}{6} \dot{v}^n(i, j + \frac{1}{2}, k) - \dot{v}^n(i, j - \frac{1}{2}, k) \right\} \\
&+ c_p^2 \frac{\Delta t}{\Delta z} \left\{ \frac{5}{6} \dot{w}^n(i, j, k + \frac{1}{2}) - \frac{5}{6} \dot{w}^n(i, j, k - \frac{1}{2}) \right\}
\end{aligned} \tag{1.67}$$

また式 (1.43) よりベクトル速度ポテンシャルは

$$\begin{aligned}
A_1^{n+1}(i, j - \frac{1}{2}, k + \frac{1}{2}) &= A_1^n(i, j - \frac{1}{2}, k + \frac{1}{2}) \\
&- c_s^2 \frac{\Delta t}{\Delta y} \left\{ \frac{5}{6} \dot{w}^{n+\frac{1}{2}}(i, j, k + \frac{1}{2}) - \dot{w}^{n+\frac{1}{2}}(i, j - \frac{1}{2}, k + \frac{1}{2}) \right\} \\
&- c_s^2 \frac{\Delta t}{\Delta z} \left\{ \dot{v}^{n+\frac{1}{2}}(i, j - \frac{1}{2}, k + 1) - \dot{v}^{n+\frac{1}{2}}(i, j - \frac{1}{2}, k) \right\} \\
A_2^{n+1}(i + \frac{1}{2}, j, k + \frac{1}{2}) &= A_2^n(i + \frac{1}{2}, j, k + \frac{1}{2}) \\
&- c_s^2 \frac{\Delta t}{\Delta z} \left\{ \frac{5}{6} \dot{u}^{n+\frac{1}{2}}(i + \frac{1}{2}, j, k + 1) - \frac{5}{6} \dot{u}^{n+\frac{1}{2}}(i + \frac{1}{2}, j, k) \right\} \\
&- c_s^2 \frac{\Delta t}{\Delta x} \left\{ \frac{5}{6} \dot{w}^{n+\frac{1}{2}}(i, j, k + \frac{1}{2}) - \frac{5}{6} \dot{w}^{n+\frac{1}{2}}(i, j, k + \frac{1}{2}) \right\} \\
A_3^{n+1}(i + \frac{1}{2}, j - \frac{1}{2}, k) &= A_2^n(i + \frac{1}{2}, j - \frac{1}{2}, k) \\
&- c_s^2 \frac{\Delta t}{\Delta x} \left\{ \dot{v}^{n+\frac{1}{2}}(i + 1, j - \frac{1}{2}, k) - \dot{v}^{n+\frac{1}{2}}(i, j - \frac{1}{2}, k) \right\} \\
&- c_s^2 \frac{\Delta t}{\Delta y} \left\{ \frac{5}{6} \dot{w}^{n+\frac{1}{2}}(i + \frac{1}{2}, j, k) - \dot{w}^{n+\frac{1}{2}}(i + \frac{1}{2}, j - 1, k) \right\}
\end{aligned} \tag{1.68}$$

2. 媒質の異なる個体同士の境界

異なる媒質の境界上の格子点においては、境界節点の前後で媒質条件を連続にするよう密度、スチフネステンソルの各成分は左右の両媒質の平均をとることにする。仮に二つの媒質の密度が ρ, ρ' 、スチフネステンソルの各成分が c, c' であ

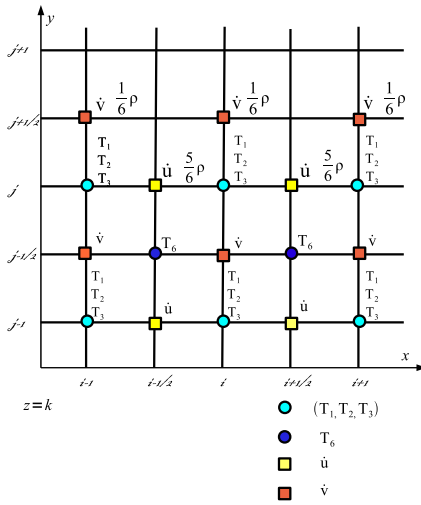


図 1.6: 自由境界, $z = k$

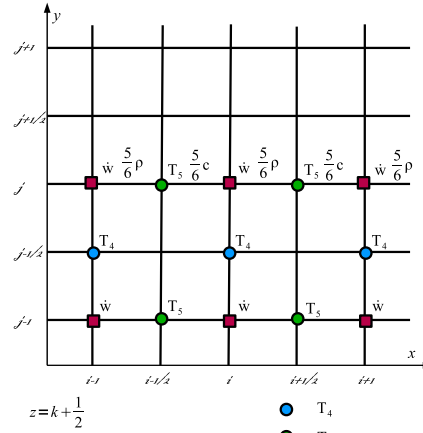


図 1.7: 自由境界, $z = k + \frac{1}{2}$

るとする．この場合に両媒質の接合においては密度、スチフネステンソルの各成分は $\frac{\rho+\rho'}{2}, \frac{2cc'}{c+c'}$ として計算する．

3. 気体（液体）と固体との境界

図 1.8と図 1.9を参照．図のように境界が x-y 面にある場合．気体（液体）と固体との境界上でせん断応力 T_6 が零になる．

4. 周期境界条件

図 (1.10) は x 方向の計算領域を表した．ここでは $x = 0$ と $x = ix$ が境界であるとする．

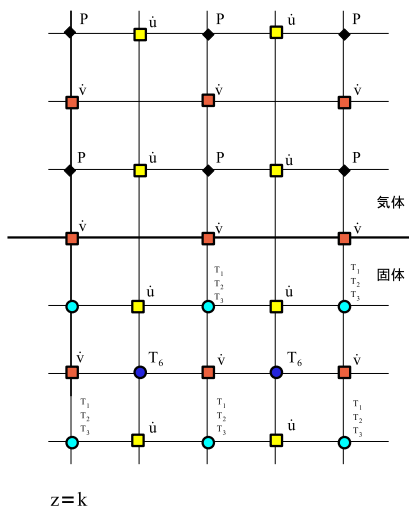


図 1.8: 液体と固体の境界 $z = k$

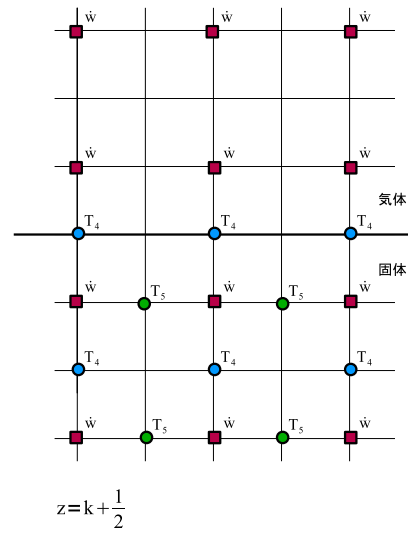


図 1.9: 液体と固体の境界 $z = k + \frac{1}{2}$

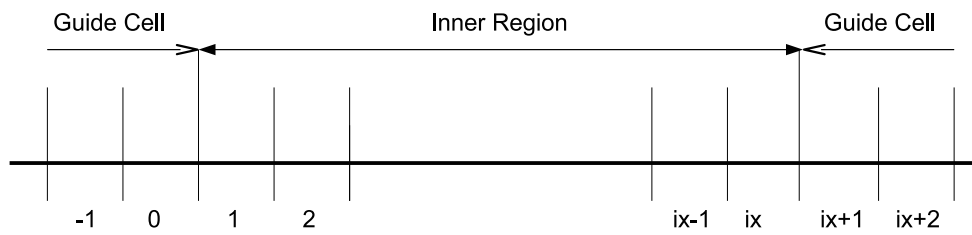


図 1.10: 計算領域のインデックス

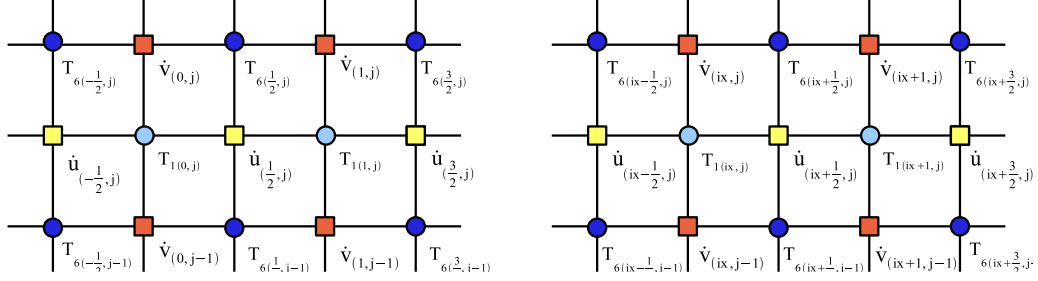


図 1.11: スタガード配置の変数インデクス

周期境界条件は図 (1.11) のスタガード変数配置では以下のように設定する .

$$\left\{ \begin{array}{l} T_{1\sim 4(-2)} = T_{1\sim 4(ix-2)} \quad \dot{v}_{(-2)} = \dot{v}_{(ix-2)} \quad \dot{w}_{(-2)} = \dot{w}_{(ix-2)} \\ T_{1\sim 4(-1)} = T_{1\sim 4(ix-1)} \quad \dot{v}_{(-1)} = \dot{v}_{(ix-1)} \quad \dot{w}_{(-1)} = \dot{w}_{(ix-1)} \\ T_{1\sim 4(0)} = T_{1\sim 4(ix)} \quad \dot{v}_{(0)} = \dot{v}_{(ix)} \quad \dot{w}_{(0)} = \dot{w}_{(ix)} \\ T_{1\sim 4(ix+1)} = T_{1\sim 4(1)} \quad \dot{v}_{(ix+1)} = \dot{v}_{(1)} \quad \dot{w}_{(ix+1)} = \dot{w}_{(1)} \\ T_{1\sim 4(ix+2)} = T_{1\sim 4(2)} \quad \dot{v}_{(ix+2)} = \dot{v}_{(2)} \quad \dot{w}_{(ix+2)} = \dot{w}_{(2)} \end{array} \right.$$

$$\left\{ \begin{array}{l} \dot{u}_{(-\frac{5}{2})} = \dot{u}_{(ix-\frac{5}{2})} \quad T_{5,6(-\frac{5}{2})} = T_{5,6(ix-\frac{5}{2})} \\ \dot{u}_{(-\frac{3}{2})} = \dot{u}_{(ix-\frac{3}{2})} \quad T_{5,6(-\frac{3}{2})} = T_{5,6(ix-\frac{3}{2})} \\ \dot{u}_{(\frac{1}{2})} = \dot{u}_{(ix+\frac{1}{2})} \quad T_{5,6(\frac{1}{2})} = T_{5,6(ix+\frac{1}{2})} \\ \dot{u}_{(\frac{3}{2})} = \dot{u}_{(ix+\frac{3}{2})} \quad T_{5,6(\frac{3}{2})} = T_{5,6(ix+\frac{3}{2})} \\ \dot{u}_{(\frac{5}{2})} = \dot{u}_{(ix+\frac{5}{2})} \quad T_{5,6(\frac{5}{2})} = T_{5,6(ix+\frac{5}{2})} \end{array} \right.$$

5. 対称境界条件

境界が x 面で対称なときには以下のように設定する .

$$\left\{ \begin{array}{l} T_{1\sim 4(-1)} = T_{1\sim 4(2)} \quad \dot{v}_{(-1)} = \dot{v}_{(2)} \quad \dot{w}_{(-1)} = \dot{w}_{(2)} \\ T_{1\sim 4(0)} = T_{1\sim 4(1)} \quad \dot{v}_{(0)} = \dot{v}_{(1)} \quad \dot{w}_{(0)} = \dot{w}_{(1)} \end{array} \right.$$

$$\left\{ \begin{array}{l} \dot{u}_{(-\frac{3}{2})} = \dot{u}_{(\frac{5}{2})} \quad T_{5,6(-\frac{3}{2})} = T_{5,6(\frac{5}{2})} \\ \dot{u}_{(-\frac{1}{2})} = \dot{u}_{(\frac{3}{2})} \quad T_{5,6(-\frac{1}{2})} = T_{5,6(\frac{3}{2})} \end{array} \right.$$

6. 吸収境界条件 / 無反射境界条件

計算空間は有限なので実際には存在しない境界 (壁) が計算領域の端にできる . この境界において吸収 (無反射) 境界を設定し波の計算領域の端での反射をな

くす．これらは吸収境界条件と呼ばれ PML 法や Mur の境界条件等多くの方法が提案されている．本ソルバーにおける吸収境界条件の設定には PML 法を使用する．

1.4.2 PML 境界条件

PML とは Perfectly Matched Layer の略であり，完全整合層とも呼ばれる．Berenger[2]により 1994 年に提案され，以後広く使われ発展している．電磁界解析で一般的に使われており，この方法では電気伝導度 ρ と仮想的な値である磁気伝導度 (磁気損失) ρ_μ を境界でインピーダンスマッチング条件をみたし反射率が零になるように設定する．このような仮想的な吸収媒質を境界に設置し，入射波を減衰させる．PML の問題点としては，使用メモリまた計算時間がかかる．また並列化が困難であることがあげられる．ただし PML 吸収境界は斜めに入射した波も扱え周波数にも依存せず，また吸収精度もよいので FDTD 計算によく使われている．

弾性波解析にも同様に減衰項を基本方程式に加える．減衰項は PML 境界内において値を持つように設定し，PML 境界内に入射してきた波が減衰するようにする．弾性波の基本方程式は式 (1.4) と式 (1.5) であるが，減衰項 σ 及び σ^* を式 (1.35) と式 (1.5) に加える．減衰項は PML 境界内部でのみ値を持つ．減衰項が 0 の時は通常の基本方程式と同じである．

$$\frac{\partial}{\partial t} \mathbf{T} + \sigma \mathbf{T} = [\tilde{c} \cdot \nabla_s \dot{\mathbf{U}}] \quad (1.69)$$

$$\rho \frac{\partial}{\partial t} \dot{\mathbf{U}} + \sigma^* \dot{\mathbf{U}} = \nabla \cdot \mathbf{T} \quad (1.70)$$

このとき応力ベクトルと粒子速度ベクトルの各成分について (x,y,x) の 3 成分に分割する． T_1 であれば $T_1 = T_{1x} + T_{1y} + T_{1z}$ のように分割する．この時 PML 境界内で式 (1.24) は応力につき 6 個また速度につき 3 個の計 9 個の連立方程式であるのでこの 3 倍の 27 個の連立方程式が必要になる．しかし基本的には媒質は等方的であると考えるので，式 (1.26) を使うので以下のように 24 個の連立方程式に展開できる．まず応

力について

$$\begin{aligned}
\frac{\partial}{\partial t}T_{1x} + \sigma_x T_{1x} &= c_{11} \frac{\partial}{\partial x}(\dot{u}_x + \dot{u}_y + \dot{u}_z) \\
\frac{\partial}{\partial t}T_{1y} + \sigma_y T_{1y} &= c_{12} \frac{\partial}{\partial y}(\dot{v}_x + \dot{v}_y + \dot{v}_z) \\
\frac{\partial}{\partial t}T_{1z} + \sigma_z T_{1z} &= c_{12} \frac{\partial}{\partial z}(\dot{w}_x + \dot{w}_y + \dot{w}_z) \\
\frac{\partial}{\partial t}T_{2x} + \sigma_x T_{2x} &= c_{12} \frac{\partial}{\partial x}(\dot{u}_x + \dot{u}_y + \dot{u}_z) \\
\frac{\partial}{\partial t}T_{2y} + \sigma_y T_{2y} &= c_{11} \frac{\partial}{\partial y}(\dot{v}_x + \dot{v}_y + \dot{v}_z) \\
\frac{\partial}{\partial t}T_{2z} + \sigma_z T_{2z} &= c_{12} \frac{\partial}{\partial z}(\dot{w}_x + \dot{w}_y + \dot{w}_z) \\
\frac{\partial}{\partial t}T_{3x} + \sigma_x T_{3x} &= c_{12} \frac{\partial}{\partial x}(\dot{u}_x + \dot{u}_y + \dot{u}_z) \\
\frac{\partial}{\partial t}T_{3y} + \sigma_y T_{3y} &= c_{12} \frac{\partial}{\partial y}(\dot{v}_x + \dot{v}_y + \dot{v}_z) \\
\frac{\partial}{\partial t}T_{3z} + \sigma_z T_{3z} &= c_{11} \frac{\partial}{\partial z}(\dot{w}_x + \dot{w}_y + \dot{w}_z) \\
\frac{\partial}{\partial t}T_{4z} + \sigma_z T_{4z} &= c_{44} \frac{\partial}{\partial z}(\dot{v}_x + \dot{v}_y + \dot{v}_z) \\
\frac{\partial}{\partial t}T_{4y} + \sigma_y T_{4y} &= c_{44} \frac{\partial}{\partial y}(\dot{w}_x + \dot{w}_y + \dot{w}_z) \\
\frac{\partial}{\partial t}T_{5z} + \sigma_z T_{5z} &= c_{44} \frac{\partial}{\partial z}(\dot{u}_x + \dot{u}_y + \dot{u}_z) \\
\frac{\partial}{\partial t}T_{5x} + \sigma_x T_{5x} &= c_{44} \frac{\partial}{\partial x}(\dot{w}_x + \dot{w}_y + \dot{w}_z) \\
\frac{\partial}{\partial t}T_{6y} + \sigma_y T_{6y} &= c_{44} \frac{\partial}{\partial y}(\dot{u}_x + \dot{u}_y + \dot{u}_z) \\
\frac{\partial}{\partial t}T_{6x} + \sigma_x T_{6x} &= c_{44} \frac{\partial}{\partial x}(\dot{v}_x + \dot{v}_y + \dot{v}_z)
\end{aligned} \tag{1.71}$$

また粒子速度ベクトルの各成分については

$$\begin{aligned}
\frac{\partial}{\partial t} \dot{u}_x + \sigma *_{x} \dot{u}_x &= \frac{1}{\rho} \frac{\partial}{\partial x} (T_{1x} + T_{1y} + T_{1z}) \\
\frac{\partial}{\partial t} \dot{u}_z + \sigma *_{z} \dot{u}_z &= \frac{1}{\rho} \frac{\partial}{\partial z} (T_{5x} + T_{5z}) \\
\frac{\partial}{\partial t} \dot{u}_y + \sigma *_{y} \dot{u}_y &= \frac{1}{\rho} \frac{\partial}{\partial y} (T_{6x} + T_{6y}) \\
\frac{\partial}{\partial t} \dot{v}_y + \sigma *_{y} \dot{v}_y &= \frac{1}{\rho} \frac{\partial}{\partial y} (T_{2x} + T_{2y} + T_{2z}) \\
\frac{\partial}{\partial t} \dot{v}_z + \sigma *_{z} \dot{v}_z &= \frac{1}{\rho} \frac{\partial}{\partial z} (T_{4y} + T_{4z}) \\
\frac{\partial}{\partial t} \dot{v}_x + \sigma *_{x} \dot{v}_x &= \frac{1}{\rho} \frac{\partial}{\partial x} (T_{6x} + T_{6y}) \\
\frac{\partial}{\partial t} \dot{w}_z + \sigma *_{z} \dot{w}_z &= \frac{1}{\rho} \frac{\partial}{\partial z} (T_{3x} + T_{3y} + T_{3z}) \\
\frac{\partial}{\partial t} \dot{w}_y + \sigma *_{y} \dot{w}_y &= \frac{1}{\rho} \frac{\partial}{\partial y} (T_{4y} + T_{4z}) \\
\frac{\partial}{\partial t} \dot{w}_x + \sigma *_{x} \dot{w}_x &= \frac{1}{\rho} \frac{\partial}{\partial x} (T_{5x} + T_{5z})
\end{aligned} \tag{1.72}$$

となる．減衰項 σ は PML 内で以下のようにする．

$$\sigma(r) = \sigma_{max} \left(\frac{r}{\delta} \right)^n \tag{1.73}$$

δ は PML 全体の厚さで r は境界面からの距離である． n は任意に設定する．電磁解析では一般的に $n = 4$ が使われているが，良い吸収率を達成させるためには音波及び弾性波解析には，整合条件や減衰項の値は，実際にプログラム上で検証する必要がある．

反射係数は入射角 θ の関数として以下のように表せられる．

$$R(\theta) = [R(0)]^{\cos(\theta)} \tag{1.74}$$

$$R(0) = \exp \left[-\frac{2}{c_p} \int_0^\delta \sigma(r) dr \right] \tag{1.75}$$

c_p は縦波速度である．

整合条件は

$$c_{11}\sigma = \sigma * / \rho \quad (1.76)$$

$$c_{12}\sigma = \sigma * / \rho \quad (1.77)$$

$$c_{44}\sigma = \sigma * / \rho \quad (1.78)$$

$$(1.79)$$

この方程式を差分で書き下す．例として T_{1x} について時間及び空間 2 次精度の離散式を書く．このとき $T_{1x}^n(i, j, k)$ という値は FDTD 法では存在しないので以下の式で近似する．

$$T_{1x}^n(i, j, k) = \frac{T_{1x}^{n+\frac{1}{2}}(i, j, k) + T_{1x}^{n-\frac{1}{2}}(i, j, k)}{2} \quad (1.80)$$

すると T_{1x} については

$$\begin{aligned} & \frac{T_{1x}^{n+\frac{1}{2}}(i, j, k) - T_{1x}^{n-\frac{1}{2}}(i, j, k)}{\Delta t} + \sigma \frac{T_{1x}^{n+\frac{1}{2}}(i, j, k) + T_{1x}^{n-\frac{1}{2}}(i, j, k)}{2} \\ &= c_{11} \frac{\dot{u}_x^n(i + \frac{1}{2}, j, k) - \dot{u}_x^n(i - \frac{1}{2}, j, k)}{\Delta x} \\ &+ c_{11} \frac{\dot{u}_y^n(i + \frac{1}{2}, j, k) - \dot{u}_y^n(i - \frac{1}{2}, j, k)}{\Delta x} \\ &+ c_{11} \frac{\dot{u}_z^n(i + \frac{1}{2}, j, k) - \dot{u}_z^n(i - \frac{1}{2}, j, k)}{\Delta x} \end{aligned}$$

T_{1x} について時間発展形に書き直せば

$$\begin{aligned} T_{1x}^{n+\frac{1}{2}}(i, j, k) &= \left(\frac{1 - \frac{\sigma\Delta t}{2}}{1 + \frac{\sigma\Delta t}{2}} \right) T_{1x}^{n-\frac{1}{2}}(i, j, k) \\ &+ \frac{1}{1 + \frac{\sigma\Delta t}{2}} \times \\ &\quad \left\{ c_{11} \frac{\Delta t}{\Delta x} \left(\dot{u}_x^n(i + \frac{1}{2}, j, k) - \dot{u}_x^n(i - \frac{1}{2}, j, k) \right) \right. \\ &+ c_{11} \frac{\Delta t}{\Delta x} \left(\dot{u}_y^n(i + \frac{1}{2}, j, k) - \dot{u}_y^n(i - \frac{1}{2}, j, k) \right) \\ &+ \left. c_{11} \frac{\Delta t}{\Delta x} \left(\dot{u}_z^n(i + \frac{1}{2}, j, k) - \dot{u}_z^n(i - \frac{1}{2}, j, k) \right) \right\} \quad (1.81) \end{aligned}$$

ここで $\frac{\sigma\Delta t}{2} = \alpha$ と置き，次の近似式を用いる．

$$1 + \alpha = \exp\left[\alpha - \frac{\alpha^2}{2} + \frac{\alpha^3}{3} \cdots\right]$$

$$1 - \alpha = \exp\left[-\alpha - \frac{\alpha^2}{2} - \frac{\alpha^3}{3} \cdots\right]$$

そのとき

$$\frac{1 + \alpha}{1 - \alpha} = \exp[2\alpha \cdots]$$

$$\begin{aligned} \frac{\Delta t}{\Delta x} \frac{1}{1 + \alpha} &= \frac{\sigma\Delta t}{\sigma\Delta x} \frac{1}{1 + \alpha} \\ &= \frac{2\alpha}{\sigma\Delta x} \frac{1}{1 + \alpha} \\ &= \frac{1}{\sigma\Delta x} \frac{2\alpha}{1 + \alpha} \\ &= \frac{1}{\sigma\Delta x} \left\{1 - \frac{1 - \alpha}{1 + \alpha}\right\} \\ &= \frac{1}{\sigma\Delta x} \{1 - \exp[-2\alpha]\} \end{aligned}$$

となる．これらの近似を用いて式 (1.81) を書き直せば

$$\begin{aligned} T_{1x}^{n+\frac{1}{2}}(i, j, k) &= \exp[-\sigma\Delta t] T_{1x}^{n-\frac{1}{2}}(i, j, k) \\ &+ \frac{1}{\sigma\Delta x} \{1 - \exp[-\sigma\Delta t]\} \times \\ &\quad \left\{ c_{11} \left(\dot{u}_x^n\left(i + \frac{1}{2}, j, k\right) - \dot{u}_x^n\left(i - \frac{1}{2}, j, k\right) \right) \right. \\ &\quad + c_{11} \left(\dot{u}_y^n\left(i + \frac{1}{2}, j, k\right) - \dot{u}_y^n\left(i - \frac{1}{2}, j, k\right) \right) \\ &\quad \left. + c_{11} \left(\dot{u}_z^n\left(i + \frac{1}{2}, j, k\right) - \dot{u}_z^n\left(i - \frac{1}{2}, j, k\right) \right) \right\} \end{aligned} \quad (1.82)$$

$\dot{u}_x, \dot{u}_y, \dot{u}_z$ は \dot{u} にまとめる事ができるので結局以下の式になる．

$$\begin{aligned} T_{1x}^{n+\frac{1}{2}}(i, j, k) &= \exp[-\sigma\Delta t] T_{1x}^{n-\frac{1}{2}}(i, j, k) \\ &+ \frac{1}{\sigma\Delta x} \{1 - \exp[-\sigma\Delta t]\} \times \\ &\quad c_{11} \left(\dot{u}^n\left(i + \frac{1}{2}, j, k\right) - \dot{u}^n\left(i - \frac{1}{2}, j, k\right) \right) \end{aligned} \quad (1.83)$$

同様にして4次精度の差分式は

$$\begin{aligned}
 T_{1x}^{n+\frac{1}{2}}(i, j, k) &= \exp[-\sigma\Delta t]T_{1x}^{n-\frac{1}{2}}(i, j, k) \\
 &+ \frac{1}{\sigma\Delta x} \{1 - \exp[-\sigma\Delta t]\} \times \\
 & c_{11} \left\{ \frac{9}{8} \left(\dot{u}^n(i + \frac{1}{2}, j, k) - \dot{u}^n(i - \frac{1}{2}, j, k) \right) \right. \\
 & \left. + \frac{1}{24} \left(\dot{u}^n(i + \frac{3}{2}, j, k) - \dot{u}^n(i - \frac{3}{2}, j, k) \right) \right\} \quad (1.84)
 \end{aligned}$$

右辺第二項はテーラー展開

$$1 - \exp[-\sigma\Delta t] \approx \sigma\Delta t - \frac{1}{2}(\sigma\Delta t)^2 + \frac{1}{3!}(\sigma\Delta t)^3 + \dots \quad (1.85)$$

により

$$\frac{1}{\sigma\Delta x} \{1 - \exp[-\sigma\Delta t]\} \approx \frac{\Delta t}{\Delta x} - \frac{1}{2}\sigma\frac{\Delta t^2}{\Delta x} + \dots \quad (1.86)$$

となる． $\sigma \approx 0$ の時は

$$\frac{1}{\sigma\Delta x} \{1 - \exp[-\sigma\Delta t]\} \approx \frac{\Delta t}{\Delta x} \quad (1.87)$$

である．以下同様に応力の各成分と粒子速度の各成分も離散化する．

参考文献

- [1] 佐藤雅弘, “FDTD 法による弾性振動・波動の解析入門”, 森北出版株式会社
- [2] J-P.Berenger, “A perfectly mathed layer for absorption of electromagnetic waves” J.Comput. Phys., vol.114, no.1, pp. 185-200,1994